

PROJEKT CENTRUM NOVA s. r. o., Palackého 48, 393 01 Pelhřimov
IČ: 280 94 026, tel. 565 323 117, fax 565 322 586
web: www.projektcentrum.cz, e.mail: info@projektcentrum.cz

1.2.3 Statický výpočet

SO-01: Přístřešek na posypový materiál

Název akce:	Skladová hala posypového materiálu v areálu KSÚSV v Pelhřimově
Stavebník:	Kraj Vysočina, Žižkova 57/1882, 587 33 Jihlava
Datum:	08/2017
Stupeň:	DÚR+DSP+DPS
Zakázka číslo:	17-010
Vypracoval:	Ing. Michal Kot

Hlavní charakteristiky modelu	
Pracovní prostor	Prostor
Ohybově tuhá konstrukce	Ano
Číslo uzlů	401
Počet lineárních prvků	155
Počet plošných prvků	0
Počet bodových podpor	27
Počet lineárních podpor	0
Počet plošných podpor	0
Počet zatěžovacích stavů	19
Počet kombinací	169

Výkaz lineárních prvků podle průřezu						
Průřez	Plocha (mm ²)	Obvod (mm)	Délka (m)	Objem (m ³)	Povrch (m ²)	Hmotnost (T)
HEB200	7808.0	1182.0	9.637	0.075	11.391	0.59
IPE360	7273.0	1384.0	173.176	1.260	239.676	9.89
L80x80x8	1230.0	320.0	112.503	0.138	36.001	1.09
RHS140x80x8 H	3200.0	440.0	39.171	0.125	17.235	0.98
SHS100x6H	2220.0	400.0	7.664	0.017	3.065	0.13
SHS120x6H	2700.0	480.0	83.088	0.224	39.882	1.76
SHS140x6H	3180.0	560.0	9.600	0.031	5.376	0.24
SHS180x8H	5440.0	720.0	134.646	0.732	96.945	5.75
SHS60x6H	1260.0	240.0	8.902	0.011	2.136	0.09
		Celkem	578.386	2.614	451.707	20.52

Použité průřezy	
Průřezy	Prvky
SHS180x8H	1-9; 17-21; 23; 45-49; 89; 122-137;
IPE360	30-32; 34; 36; 44; 51-55; 56-59; 87-88; 167-169;
HEB200	50;
SHS140x6H	138;
SHS60x6H	139-143; 146-147;
SHS100x6H	144-145; 148-149;
RHS140x80x8H	62; 64-86; 90-93; 150- 154;
L80x80x8	94-121;
SHS120x6H	155-161; 163-166; 170- 182;

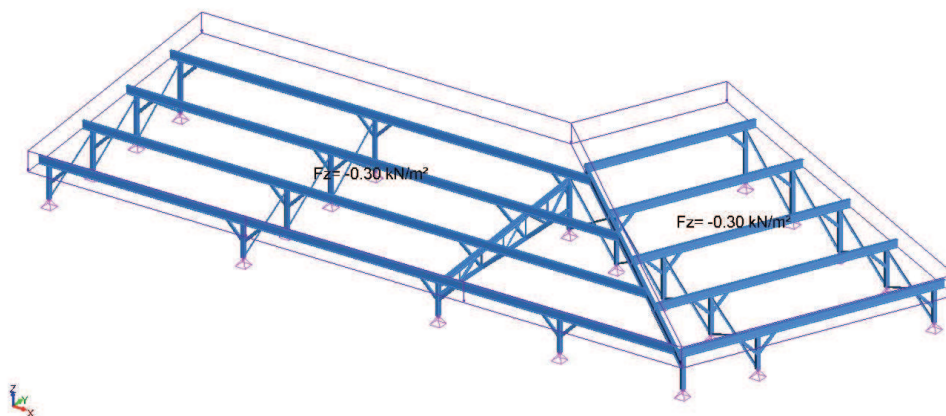
Charakteristiky průřezu						
Označení	A (mm ²)	ly lz lyz It (mm ⁴)	Iw (mm ⁶)	Welyinf Welysup Welzinf Welzsup (mm ³)	Wply Wplz Wt (mm ³)	Sy (mm ²)
L80x80x8	1230.0	722500.0 722500.0 -425300.0 23410.0	0.0	31969.0 12580.0 31969.0 12580.0	0.0 0.0 0.0	613.5 613.5
IPE360	7273.0	162700000.0 10430000.0 0.0 373200.0	3136000000 00.0	903600.0 903600.0 122800.0 122800.0	1019000.0 191100.0 29390.0	4526.0 3514.0
HEB200	7808.0	56960000.0 20030000.0 0.0 592800.0	1711000000 00.0	569600.0 569600.0 200300.0 200300.0	642500.0 305800.0 39520.0	6243.0 2483.0
SHS180x8H	5440.0	26610000.0 26610000.0 0.0 41620000.0	0.0	296000.0 296000.0 296000.0 296000.0	349000.0 349000.0 433773.4	2624.0 2624.0
RHS140x80x 8H	3200.0	7760000.0 3140000.0 0.0 7330000.0	0.0	111000.0 111000.0 78500.0 78500.0	141000.0 94100.0 130430.4	1024.0 1984.0
SHS120x6H	2700.0	5790000.0 5790000.0 0.0 9110000.0	0.0	96600.0 96600.0 96600.0 96600.0	115000.0 115000.0 141369.4	1296.0 1296.0
SHS140x6H	3180.0	9440000.0 9440000.0 0.0 14750000.0	0.0	135000.0 135000.0 135000.0 135000.0	159000.0 159000.0 198073.5	1536.0 1536.0
SHS60x6H	1260.0	599000.0 599000.0 0.0 986000.0	0.0	20000.0 20000.0 20000.0 20000.0	25100.0 25100.0 28797.9	576.0 576.0
SHS100x6H	2220.0	3230000.0 3230000.0 0.0 5130000.0	0.0	64600.0 64600.0 64600.0 64600.0	77600.0 77600.0 94295.7	1056.0 1056.0

Materiál - ocel: S235		
t(mm)	40.0	80.0
fy(MPa)	235.00	215.00
fu(MPa)	360.00	360.00

Seznam rodin zatěžovacích stavů		
Č.	Označení	Seznam zatěžovacích stavů
1	Stálé zatížení	1
2	Sníh ČSN EN1991-1-3	2
3	Vítr ČSN EN1991-1-4	3; 4; 5; 6; 7; 8; 9; 10; 11; 12; 13; 14; 15; 16; 17; 18
4	Nelineární statický výpočet	19

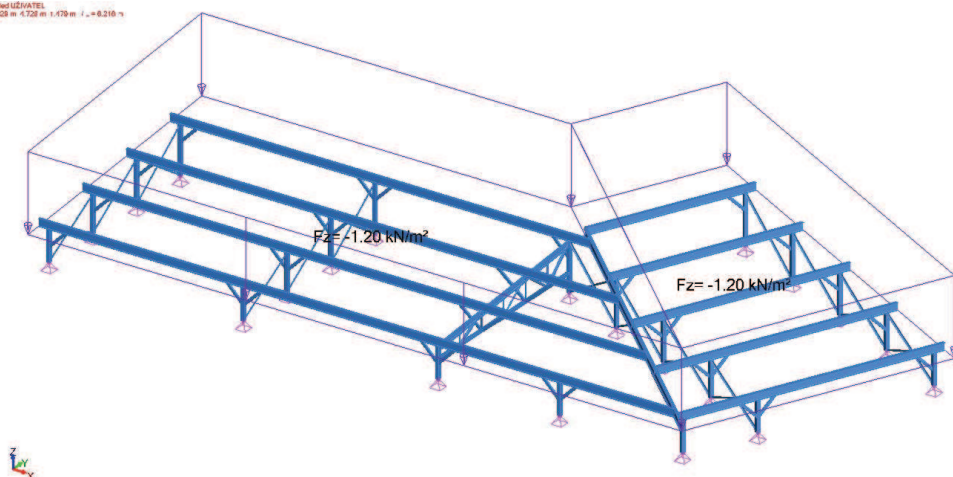
Zatěžovací stavy a výslednice							
Č.	Zatěžovací stav	Výslednice zatížení (globální souřadnicový systém)					
		Fx (kN)	Fy (kN)	Fz (kN)	Mx (kN*m)	My (kN*m)	Mz (kN*m)
1	G	0.00	0.00	-353.45	-2369.53	-6383.02	0.00
2	Sníh	0.00	0.00	-606.95	-4396.85	-10645.41	0.00
3	VX+S	9.25	-12.30	119.70	656.16	1398.36	-183.66
4	VX+D	16.99	-6.41	13.74	-49.01	-242.77	13.68
5	VX+S2	10.36	-12.82	139.71	862.77	1930.40	-185.86
6	VX+D2	18.11	-6.93	33.75	157.60	289.27	11.48
7	VX-S	-9.14	-8.21	113.25	525.43	1725.95	-289.02
8	VX-D	-1.32	-2.35	8.67	-112.95	-171.97	-70.00
9	VX-S2	-8.07	-8.71	132.43	736.05	2267.91	-291.25
10	VX-D2	-0.25	-2.85	27.85	97.68	369.99	-72.23
11	VY+S	-3.11	19.88	134.03	710.29	1640.77	340.71
12	VY+D	-1.03	20.38	53.78	271.59	669.38	340.44
13	VY+S2	-3.11	28.80	32.10	202.81	383.16	450.73
14	VY+D2	-1.03	29.30	-48.15	-235.89	-588.23	450.46
15	VY-S	-4.82	-22.26	177.34	1059.76	2305.23	-121.57
16	VY-D	-4.27	-21.05	69.76	334.09	579.15	-114.30
17	VY-S2	-3.91	-22.69	193.79	1220.41	2776.59	-124.77
18	VY-D2	-3.35	-21.47	86.21	494.74	1050.51	-117.50

Příloha 1: VÝKRES
 16.12.2018 11:47:29 m 1.479 m 1.479 m 1.479 m



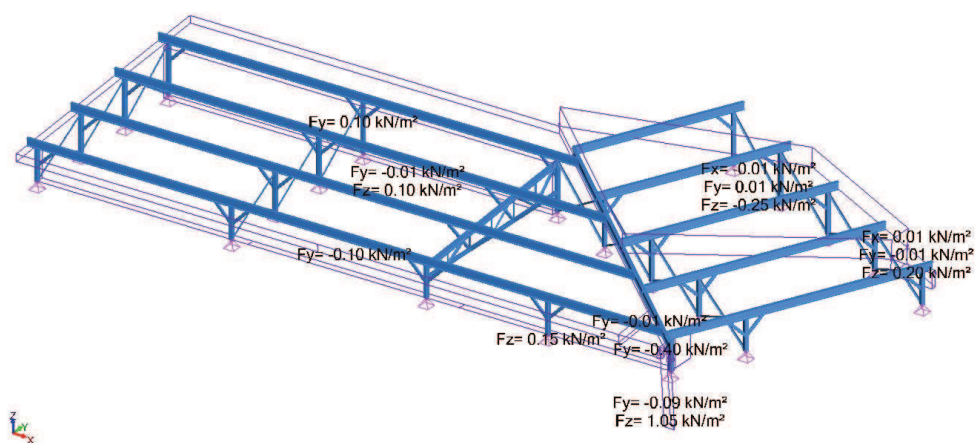
1 Stálé zatížení

Počet uživatele:
62.328 m x 4.728 m x 4.728 m $f_{\text{max}} = 6.216 \text{ m}$



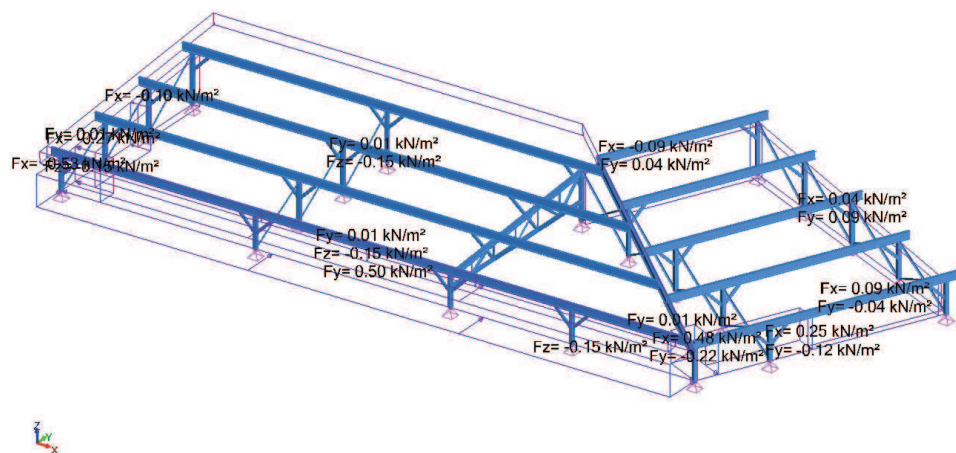
2 Zatížení sněhem

Počet uživatele:
62.328 m x 4.728 m x 4.728 m $f_{\text{max}} = 6.216 \text{ m}$



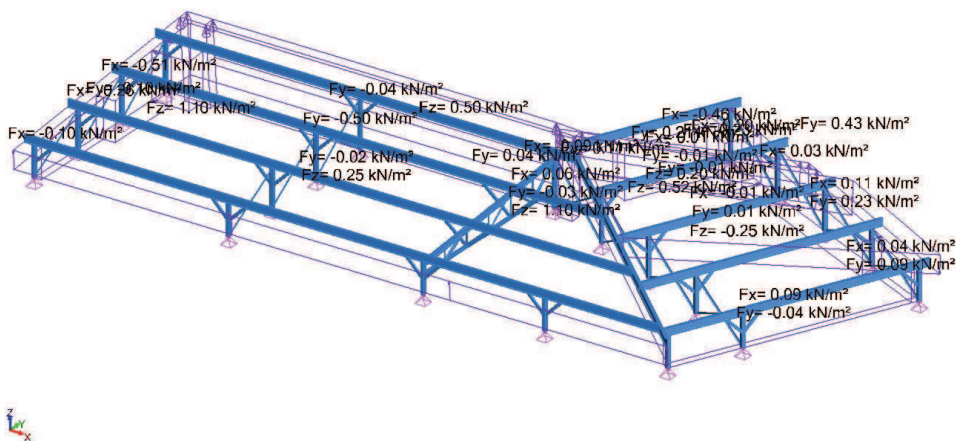
3 Zatížení větrem 01

Počet uživatele:
62.328 m x 4.728 m x 4.728 m $f_{\text{max}} = 6.216 \text{ m}$



4 Zatížení větrem 02

Poraditel: VATEL
40.202 m x 1.728 m x 1.478 m / z = 8.218 m



5 Zatížení větrem 03

Popis kombinací			
Č.	Název	Detaily	Kód
101	1x[1 G]	1.00*1	ECELUSTR
102	1.35x[1 G]	1.35*1	ECELUSTR
103	1x[1 G]+1.5x[2 Sníh]	1.00*1 + 1.50*2	ECELUSTR
104	1.35x[1 G]+1.5x[2 Sníh]	1.35*1 + 1.50*2	ECELUSTR
105	1x[1 G]+1.5x[2 Sníh]+0.9x[3 VX+S]	1.00*1 + 1.50*2 + 0.90*3	ECELUSTR
106	1.35x[1 G]+1.5x[2 Sníh]+0.9x[3 VX+S]	1.35*1 + 1.50*2 + 0.90*3	ECELUSTR
107	1x[1 G]+1.5x[2 Sníh]+0.9x[4 VX+D]	1.00*1 + 1.50*2 + 0.90*4	ECELUSTR
108	1.35x[1 G]+1.5x[2 Sníh]+0.9x[4 VX+D]	1.35*1 + 1.50*2 + 0.90*4	ECELUSTR
109	1x[1 G]+1.5x[2 Sníh]+0.9x[5 VX+S2]	1.00*1 + 1.50*2 + 0.90*5	ECELUSTR
110	1.35x[1 G]+1.5x[2 Sníh]+0.9x[5 VX+S2]	1.35*1 + 1.50*2 + 0.90*5	ECELUSTR
111	1x[1 G]+1.5x[2 Sníh]+0.9x[6 VX+D2]	1.00*1 + 1.50*2 + 0.90*6	ECELUSTR
112	1.35x[1 G]+1.5x[2 Sníh]+0.9x[6 VX+D2]	1.35*1 + 1.50*2 + 0.90*6	ECELUSTR
113	1x[1 G]+1.5x[2 Sníh]+0.9x[7 VX-S]	1.00*1 + 1.50*2 + 0.90*7	ECELUSTR
114	1.35x[1 G]+1.5x[2 Sníh]+0.9x[7 VX-S]	1.35*1 + 1.50*2 + 0.90*7	ECELUSTR
115	1x[1 G]+1.5x[2 Sníh]+0.9x[8 VX-D]	1.00*1 + 1.50*2 + 0.90*8	ECELUSTR
116	1.35x[1 G]+1.5x[2 Sníh]+0.9x[8 VX-D]	1.35*1 + 1.50*2 + 0.90*8	ECELUSTR
117	1x[1 G]+1.5x[2 Sníh]+0.9x[9 VX-S2]	1.00*1 + 1.50*2 + 0.90*9	ECELUSTR
118	1.35x[1 G]+1.5x[2 Sníh]+0.9x[9 VX-S2]	1.35*1 + 1.50*2 + 0.90*9	ECELUSTR
119	1x[1 G]+1.5x[2 Sníh]+0.9x[10 VX-D2]	1.00*1 + 1.50*2 + 0.90*10	ECELUSTR
120	1.35x[1 G]+1.5x[2 Sníh]+0.9x[10 VX-D2]	1.35*1 + 1.50*2 + 0.90*10	ECELUSTR
121	1x[1 G]+1.5x[2 Sníh]+0.9x[11 VY+S]	1.00*1 + 1.50*2 + 0.90*11	ECELUSTR
122	1.35x[1 G]+1.5x[2 Sníh]+0.9x[11 VY+S]	1.35*1 + 1.50*2 + 0.90*11	ECELUSTR
123	1x[1 G]+1.5x[2 Sníh]+0.9x[12 VY+D]	1.00*1 + 1.50*2 + 0.90*12	ECELUSTR

Popis kombinací			
Č.	Název	Detaily	Kód
124	1.35x[1 G]+1.5x[2 Sníh]+0.9x[12 VY+D]	1.35*1 + 1.50*2 + 0.90*12	ECELUSTR
125	1x[1 G]+1.5x[2 Sníh]+0.9x[13 VY+S2]	1.00*1 + 1.50*2 + 0.90*13	ECELUSTR
126	1.35x[1 G]+1.5x[2 Sníh]+0.9x[13 VY+S2]	1.35*1 + 1.50*2 + 0.90*13	ECELUSTR
127	1x[1 G]+1.5x[2 Sníh]+0.9x[14 VY+D2]	1.00*1 + 1.50*2 + 0.90*14	ECELUSTR
128	1.35x[1 G]+1.5x[2 Sníh]+0.9x[14 VY+D2]	1.35*1 + 1.50*2 + 0.90*14	ECELUSTR
129	1x[1 G]+1.5x[2 Sníh]+0.9x[15 VY-S]	1.00*1 + 1.50*2 + 0.90*15	ECELUSTR
130	1.35x[1 G]+1.5x[2 Sníh]+0.9x[15 VY-S]	1.35*1 + 1.50*2 + 0.90*15	ECELUSTR
131	1x[1 G]+1.5x[2 Sníh]+0.9x[16 VY-D]	1.00*1 + 1.50*2 + 0.90*16	ECELUSTR
132	1.35x[1 G]+1.5x[2 Sníh]+0.9x[16 VY-D]	1.35*1 + 1.50*2 + 0.90*16	ECELUSTR
133	1x[1 G]+1.5x[2 Sníh]+0.9x[17 VY-S2]	1.00*1 + 1.50*2 + 0.90*17	ECELUSTR
134	1.35x[1 G]+1.5x[2 Sníh]+0.9x[17 VY-S2]	1.35*1 + 1.50*2 + 0.90*17	ECELUSTR
135	1x[1 G]+1.5x[2 Sníh]+0.9x[18 VY-D2]	1.00*1 + 1.50*2 + 0.90*18	ECELUSTR
136	1.35x[1 G]+1.5x[2 Sníh]+0.9x[18 VY-D2]	1.35*1 + 1.50*2 + 0.90*18	ECELUSTR
137	1x[1 G]+1.5x[3 VX+S]	1.00*1 + 1.50*3	ECELUSTR
138	1.35x[1 G]+1.5x[3 VX+S]	1.35*1 + 1.50*3	ECELUSTR
139	1x[1 G]+1.5x[3 VX+S]+0.75x[2 Sníh]	1.00*1 + 1.50*3 + 0.75*2	ECELUSTR
140	1.35x[1 G]+1.5x[3 VX+S]+0.75x[2 Sníh]	1.35*1 + 1.50*3 + 0.75*2	ECELUSTR
141	1x[1 G]+1.5x[4 VX+D]	1.00*1 + 1.50*4	ECELUSTR
142	1.35x[1 G]+1.5x[4 VX+D]	1.35*1 + 1.50*4	ECELUSTR
143	1x[1 G]+1.5x[4 VX+D]+0.75x[2 Sníh]	1.00*1 + 1.50*4 + 0.75*2	ECELUSTR
144	1.35x[1 G]+1.5x[4 VX+D]+0.75x[2 Sníh]	1.35*1 + 1.50*4 + 0.75*2	ECELUSTR
145	1x[1 G]+1.5x[5 VX+S2]	1.00*1 + 1.50*5	ECELUSTR
146	1.35x[1 G]+1.5x[5 VX+S2]	1.35*1 + 1.50*5	ECELUSTR
147	1x[1 G]+1.5x[5 VX+S2]+0.75x[2 Sníh]	1.00*1 + 1.50*5 + 0.75*2	ECELUSTR
148	1.35x[1 G]+1.5x[5 VX+S2]+0.75x[2 Sníh]	1.35*1 + 1.50*5 + 0.75*2	ECELUSTR
149	1x[1 G]+1.5x[6 VX+D2]	1.00*1 + 1.50*6	ECELUSTR
150	1.35x[1 G]+1.5x[6 VX+D2]	1.35*1 + 1.50*6	ECELUSTR
151	1x[1 G]+1.5x[6 VX+D2]+0.75x[2 Sníh]	1.00*1 + 1.50*6 + 0.75*2	ECELUSTR
152	1.35x[1 G]+1.5x[6 VX+D2]+0.75x[2 Sníh]	1.35*1 + 1.50*6 + 0.75*2	ECELUSTR
153	1x[1 G]+1.5x[7 VX-S]	1.00*1 + 1.50*7	ECELUSTR
154	1.35x[1 G]+1.5x[7 VX-S]	1.35*1 + 1.50*7	ECELUSTR
155	1x[1 G]+1.5x[7 VX-S]+0.75x[2 Sníh]	1.00*1 + 1.50*7 + 0.75*2	ECELUSTR
156	1.35x[1 G]+1.5x[7 VX-S]+0.75x[2 Sníh]	1.35*1 + 1.50*7 + 0.75*2	ECELUSTR
157	1x[1 G]+1.5x[8 VX-D]	1.00*1 + 1.50*8	ECELUSTR
158	1.35x[1 G]+1.5x[8 VX-D]	1.35*1 + 1.50*8	ECELUSTR
159	1x[1 G]+1.5x[8 VX-D]+0.75x[2 Sníh]	1.00*1 + 1.50*8 + 0.75*2	ECELUSTR
160	1.35x[1 G]+1.5x[8 VX-D]+0.75x[2 Sníh]	1.35*1 + 1.50*8 + 0.75*2	ECELUSTR
161	1x[1 G]+1.5x[9 VX-S2]	1.00*1 + 1.50*9	ECELUSTR

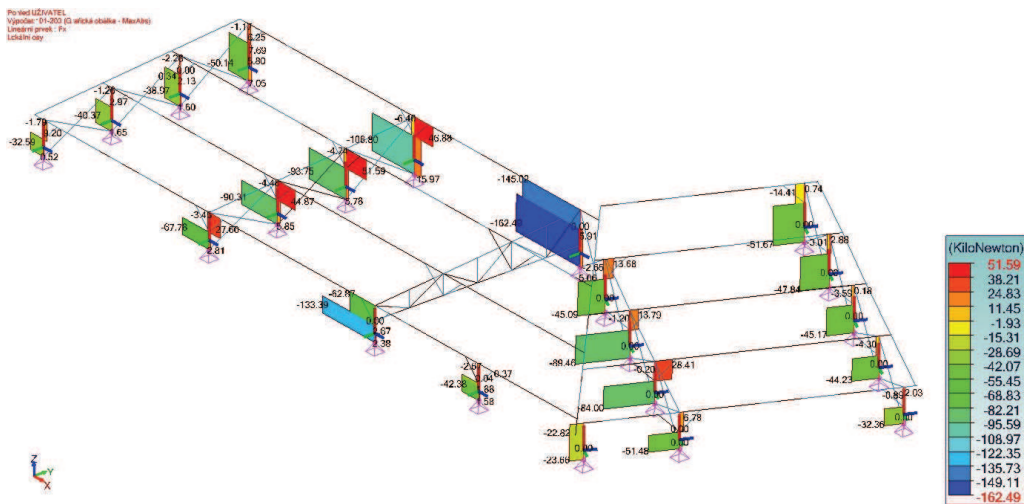
Popis kombinací			
Č.	Název	Detaily	Kód
162	1.35x[1 G]+1.5x[9 VX-S2]	1.35*1 + 1.50*9	ECELUSTR
163	1x[1 G]+1.5x[9 VX-S2]+0.75x[2 Sníh]	1.00*1 + 1.50*9 + 0.75*2	ECELUSTR
164	1.35x[1 G]+1.5x[9 VX-S2]+0.75x[2 Sníh]	1.35*1 + 1.50*9 + 0.75*2	ECELUSTR
165	1x[1 G]+1.5x[10 VX-D2]	1.00*1 + 1.50*10	ECELUSTR
166	1.35x[1 G]+1.5x[10 VX-D2]	1.35*1 + 1.50*10	ECELUSTR
167	1x[1 G]+1.5x[10 VX-D2]+0.75x[2 Sníh]	1.00*1 + 1.50*10 + 0.75*2	ECELUSTR
168	1.35x[1 G]+1.5x[10 VX-D2]+0.75x[2 Sníh]	1.35*1 + 1.50*10 + 0.75*2	ECELUSTR
169	1x[1 G]+1.5x[11 VY+S]	1.00*1 + 1.50*11	ECELUSTR
170	1.35x[1 G]+1.5x[11 VY+S]	1.35*1 + 1.50*11	ECELUSTR
171	1x[1 G]+1.5x[11 VY+S]+0.75x[2 Sníh]	1.00*1 + 1.50*11 + 0.75*2	ECELUSTR
172	1.35x[1 G]+1.5x[11 VY+S]+0.75x[2 Sníh]	1.35*1 + 1.50*11 + 0.75*2	ECELUSTR
173	1x[1 G]+1.5x[12 VY+D]	1.00*1 + 1.50*12	ECELUSTR
174	1.35x[1 G]+1.5x[12 VY+D]	1.35*1 + 1.50*12	ECELUSTR
175	1x[1 G]+1.5x[12 VY+D]+0.75x[2 Sníh]	1.00*1 + 1.50*12 + 0.75*2	ECELUSTR
176	1.35x[1 G]+1.5x[12 VY+D]+0.75x[2 Sníh]	1.35*1 + 1.50*12 + 0.75*2	ECELUSTR
177	1x[1 G]+1.5x[13 VY+S2]	1.00*1 + 1.50*13	ECELUSTR
178	1.35x[1 G]+1.5x[13 VY+S2]	1.35*1 + 1.50*13	ECELUSTR
179	1x[1 G]+1.5x[13 VY+S2]+0.75x[2 Sníh]	1.00*1 + 1.50*13 + 0.75*2	ECELUSTR
180	1.35x[1 G]+1.5x[13 VY+S2]+0.75x[2 Sníh]	1.35*1 + 1.50*13 + 0.75*2	ECELUSTR
181	1x[1 G]+1.5x[14 VY+D2]	1.00*1 + 1.50*14	ECELUSTR
182	1.35x[1 G]+1.5x[14 VY+D2]	1.35*1 + 1.50*14	ECELUSTR
183	1x[1 G]+1.5x[14 VY+D2]+0.75x[2 Sníh]	1.00*1 + 1.50*14 + 0.75*2	ECELUSTR
184	1.35x[1 G]+1.5x[14 VY+D2]+0.75x[2 Sníh]	1.35*1 + 1.50*14 + 0.75*2	ECELUSTR
185	1x[1 G]+1.5x[15 VY-S]	1.00*1 + 1.50*15	ECELUSTR
186	1.35x[1 G]+1.5x[15 VY-S]	1.35*1 + 1.50*15	ECELUSTR
187	1x[1 G]+1.5x[15 VY-S]+0.75x[2 Sníh]	1.00*1 + 1.50*15 + 0.75*2	ECELUSTR
188	1.35x[1 G]+1.5x[15 VY-S]+0.75x[2 Sníh]	1.35*1 + 1.50*15 + 0.75*2	ECELUSTR
189	1x[1 G]+1.5x[16 VY-D]	1.00*1 + 1.50*16	ECELUSTR
190	1.35x[1 G]+1.5x[16 VY-D]	1.35*1 + 1.50*16	ECELUSTR
191	1x[1 G]+1.5x[16 VY-D]+0.75x[2 Sníh]	1.00*1 + 1.50*16 + 0.75*2	ECELUSTR
192	1.35x[1 G]+1.5x[16 VY-D]+0.75x[2 Sníh]	1.35*1 + 1.50*16 + 0.75*2	ECELUSTR
193	1x[1 G]+1.5x[17 VY-S2]	1.00*1 + 1.50*17	ECELUSTR
194	1.35x[1 G]+1.5x[17 VY-S2]	1.35*1 + 1.50*17	ECELUSTR
195	1x[1 G]+1.5x[17 VY-S2]+0.75x[2 Sníh]	1.00*1 + 1.50*17 + 0.75*2	ECELUSTR
196	1.35x[1 G]+1.5x[17 VY-S2]+0.75x[2 Sníh]	1.35*1 + 1.50*17 + 0.75*2	ECELUSTR
197	1x[1 G]+1.5x[18 VY-D2]	1.00*1 + 1.50*18	ECELUSTR
198	1.35x[1 G]+1.5x[18 VY-D2]	1.35*1 + 1.50*18	ECELUSTR

Popis kombinací			
Č.	Název	Detaily	Kód
199	1x[1 G]+1.5x[18 VY-D2]+0.75x[2 Sníh]	1.00*1 + 1.50*18 + 0.75*2	ECELUSTR
200	1.35x[1 G]+1.5x[18 VY-D2]+0.75x[2 Sníh]	1.35*1 + 1.50*18 + 0.75*2	ECELUSTR
201	1x[1 G]	1.00*1	ECELSQ
202	1x[1 G]+1x[2 Sníh]	1.00*1 + 1.00*2	ECELSQ
203	1x[1 G]+1x[2 Sníh]+0.6x[3 VX+S]	1.00*1 + 1.00*2 + 0.60*3	ECELSQ
204	1x[1 G]+1x[2 Sníh]+0.6x[4 VX+D]	1.00*1 + 1.00*2 + 0.60*4	ECELSQ
205	1x[1 G]+1x[2 Sníh]+0.6x[5 VX+S2]	1.00*1 + 1.00*2 + 0.60*5	ECELSQ
206	1x[1 G]+1x[2 Sníh]+0.6x[6 VX+D2]	1.00*1 + 1.00*2 + 0.60*6	ECELSQ
207	1x[1 G]+1x[2 Sníh]+0.6x[7 VX-S]	1.00*1 + 1.00*2 + 0.60*7	ECELSQ
208	1x[1 G]+1x[2 Sníh]+0.6x[8 VX-D]	1.00*1 + 1.00*2 + 0.60*8	ECELSQ
209	1x[1 G]+1x[2 Sníh]+0.6x[9 VX-S2]	1.00*1 + 1.00*2 + 0.60*9	ECELSQ
210	1x[1 G]+1x[2 Sníh]+0.6x[10 VX-D2]	1.00*1 + 1.00*2 + 0.60*10	ECELSQ
211	1x[1 G]+1x[2 Sníh]+0.6x[11 VY+S]	1.00*1 + 1.00*2 + 0.60*11	ECELSQ
212	1x[1 G]+1x[2 Sníh]+0.6x[12 VY+D]	1.00*1 + 1.00*2 + 0.60*12	ECELSQ
213	1x[1 G]+1x[2 Sníh]+0.6x[13 VY+S2]	1.00*1 + 1.00*2 + 0.60*13	ECELSQ
214	1x[1 G]+1x[2 Sníh]+0.6x[14 VY+D2]	1.00*1 + 1.00*2 + 0.60*14	ECELSQ
215	1x[1 G]+1x[2 Sníh]+0.6x[15 VY-S]	1.00*1 + 1.00*2 + 0.60*15	ECELSQ
216	1x[1 G]+1x[2 Sníh]+0.6x[16 VY-D]	1.00*1 + 1.00*2 + 0.60*16	ECELSQ
217	1x[1 G]+1x[2 Sníh]+0.6x[17 VY-S2]	1.00*1 + 1.00*2 + 0.60*17	ECELSQ
218	1x[1 G]+1x[2 Sníh]+0.6x[18 VY-D2]	1.00*1 + 1.00*2 + 0.60*18	ECELSQ
219	1x[1 G]+1x[3 VX+S]	1.00*1 + 1.00*3	ECELSQ
220	1x[1 G]+1x[3 VX+S]+0.5x[2 Sníh]	1.00*1 + 1.00*3 + 0.50*2	ECELSQ
221	1x[1 G]+1x[4 VX+D]	1.00*1 + 1.00*4	ECELSQ
222	1x[1 G]+1x[4 VX+D]+0.5x[2 Sníh]	1.00*1 + 1.00*4 + 0.50*2	ECELSQ
223	1x[1 G]+1x[5 VX+S2]	1.00*1 + 1.00*5	ECELSQ
224	1x[1 G]+1x[5 VX+S2]+0.5x[2 Sníh]	1.00*1 + 1.00*5 + 0.50*2	ECELSQ
225	1x[1 G]+1x[6 VX+D2]	1.00*1 + 1.00*6	ECELSQ
226	1x[1 G]+1x[6 VX+D2]+0.5x[2 Sníh]	1.00*1 + 1.00*6 + 0.50*2	ECELSQ
227	1x[1 G]+1x[7 VX-S]	1.00*1 + 1.00*7	ECELSQ
228	1x[1 G]+1x[7 VX-S]+0.5x[2 Sníh]	1.00*1 + 1.00*7 + 0.50*2	ECELSQ
229	1x[1 G]+1x[8 VX-D]	1.00*1 + 1.00*8	ECELSQ
230	1x[1 G]+1x[8 VX-D]+0.5x[2 Sníh]	1.00*1 + 1.00*8 + 0.50*2	ECELSQ
231	1x[1 G]+1x[9 VX-S2]	1.00*1 + 1.00*9	ECELSQ
232	1x[1 G]+1x[9 VX-S2]+0.5x[2 Sníh]	1.00*1 + 1.00*9 + 0.50*2	ECELSQ
233	1x[1 G]+1x[10 VX-D2]	1.00*1 + 1.00*10	ECELSQ
234	1x[1 G]+1x[10 VX-D2]+0.5x[2 Sníh]	1.00*1 + 1.00*10 + 0.50*2	ECELSQ
235	1x[1 G]+1x[11 VY+S]	1.00*1 + 1.00*11	ECELSQ
236	1x[1 G]+1x[11 VY+S]+0.5x[2 Sníh]	1.00*1 + 1.00*11 + 0.50*2	ECELSQ
237	1x[1 G]+1x[12 VY+D]	1.00*1 + 1.00*12	ECELSQ
238	1x[1 G]+1x[12 VY+D]+0.5x[2 Sníh]	1.00*1 + 1.00*12 + 0.50*2	ECELSQ
239	1x[1 G]+1x[13 VY+S2]	1.00*1 + 1.00*13	ECELSQ
240	1x[1 G]+1x[13 VY+S2]+0.5x[2 Sníh]	1.00*1 + 1.00*13 + 0.50*2	ECELSQ
241	1x[1 G]+1x[14 VY+D2]	1.00*1 + 1.00*14	ECELSQ
242	1x[1 G]+1x[14 VY+D2]+0.5x[2 Sníh]	1.00*1 + 1.00*14 + 0.50*2	ECELSQ
243	1x[1 G]+1x[15 VY-S]	1.00*1 + 1.00*15	ECELSQ
244	1x[1 G]+1x[15 VY-S]+0.5x[2 Sníh]	1.00*1 + 1.00*15 + 0.50*2	ECELSQ
245	1x[1 G]+1x[16 VY-D]	1.00*1 + 1.00*16	ECELSQ

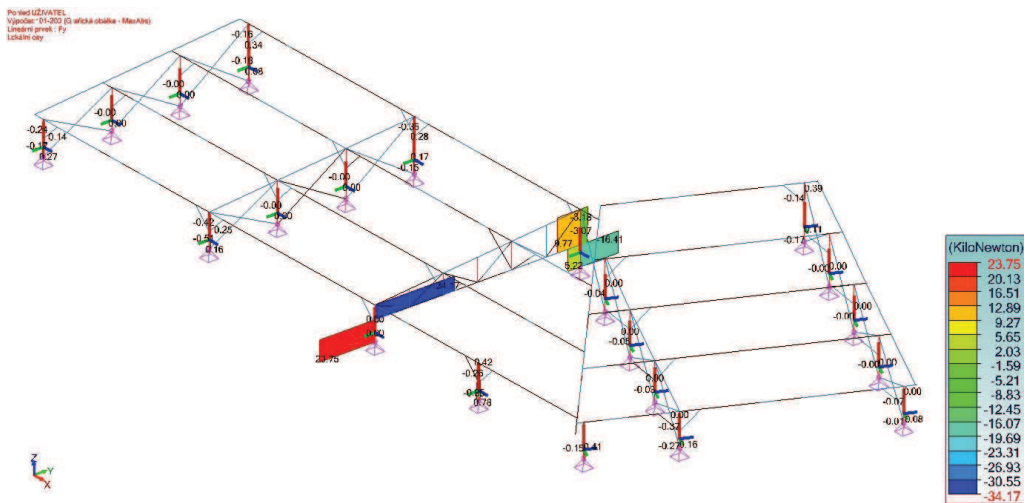
Popis kombinací			
Č.	Název	Detaily	Kód
246	1x[1 G]+1x[16 VY-D]+0.5x[2 Sníh]	1.00*1 + 1.00*16 + 0.50*2	ECELSQC
247	1x[1 G]+1x[17 VY-S2]	1.00*1 + 1.00*17	ECELSQC
248	1x[1 G]+1x[17 VY-S2]+0.5x[2 Sníh]	1.00*1 + 1.00*17 + 0.50*2	ECELSQC
249	1x[1 G]+1x[18 VY-D2]	1.00*1 + 1.00*18	ECELSQC
250	1x[1 G]+1x[18 VY-D2]+0.5x[2 Sníh]	1.00*1 + 1.00*18 + 0.50*2	ECELSQC
251	1x[1 G]	1.00*1	ECELSFQ
252	1x[1 G]+0.2x[2 Sníh]	1.00*1 + 0.20*2	ECELSFQ
253	1x[1 G]+0.2x[3 VX+S]	1.00*1 + 0.20*3	ECELSFQ
254	1x[1 G]+0.2x[4 VX+D]	1.00*1 + 0.20*4	ECELSFQ
255	1x[1 G]+0.2x[5 VX+S2]	1.00*1 + 0.20*5	ECELSFQ
256	1x[1 G]+0.2x[6 VX+D2]	1.00*1 + 0.20*6	ECELSFQ
257	1x[1 G]+0.2x[7 VX-S]	1.00*1 + 0.20*7	ECELSFQ
258	1x[1 G]+0.2x[8 VX-D]	1.00*1 + 0.20*8	ECELSFQ
259	1x[1 G]+0.2x[9 VX-S2]	1.00*1 + 0.20*9	ECELSFQ
260	1x[1 G]+0.2x[10 VX-D2]	1.00*1 + 0.20*10	ECELSFQ
261	1x[1 G]+0.2x[11 VY+S]	1.00*1 + 0.20*11	ECELSFQ
262	1x[1 G]+0.2x[12 VY+D]	1.00*1 + 0.20*12	ECELSFQ
263	1x[1 G]+0.2x[13 VY+S2]	1.00*1 + 0.20*13	ECELSFQ
264	1x[1 G]+0.2x[14 VY+D2]	1.00*1 + 0.20*14	ECELSFQ
265	1x[1 G]+0.2x[15 VY-S]	1.00*1 + 0.20*15	ECELSFQ
266	1x[1 G]+0.2x[16 VY-D]	1.00*1 + 0.20*16	ECELSFQ
267	1x[1 G]+0.2x[17 VY-S2]	1.00*1 + 0.20*17	ECELSFQ
268	1x[1 G]+0.2x[18 VY-D2]	1.00*1 + 0.20*18	ECELSFQ
269	1x[1 G]	1.00*1	ECELSQP

Obálky z obálek sil pro lineární prvky (lokální souřadnicový systém)									
Obál.	Zatěžovací stav	Uzel č.	Uzel Č.	Fx(kN)	Fy(kN)	Fz(kN)	Mx(kN*m)	My(kN*m)	Mz(kN*m)
Max(Fx)	128	6.2	318	51.59	0.00	-3.36	0.00	0.00	0.01
Min(Fx)	128	46.1	57	-162.49	-16.41	6.32	0.00	-0.04	0.37
Max(Fy)	136	9.1	21	-117.62	23.75	13.82	0.00	0.00	-0.88
Min(Fy)	136	9.3	110	-56.56	-34.17	-11.98	-0.33	7.19	20.37
Max(Fz)	116	48.2	133	12.89	-0.04	35.82	0.02	-28.66	-0.07
Min(Fz)	116	18.2	132	2.16	0.00	-30.18	0.00	24.15	0.00
Max(Mx)	193	46.2	119	5.64	-3.05	-2.95	0.28	-2.51	4.45
Min(Mx)	128	46.2	119	-161.86	9.77	5.04	-1.78	5.42	-14.40
Max(My)	116	18.1	132	-47.07	0.00	18.86	0.00	24.15	0.00
Min(My)	116	48.1	133	-44.04	-0.04	-20.92	0.00	-28.66	-0.05
Max(Mz)	136	9.2	110	-56.70	23.75	-12.42	-0.01	7.19	20.37
Min(Mz)	128	46.1	119	-161.98	-16.41	6.32	0.00	5.64	-14.40

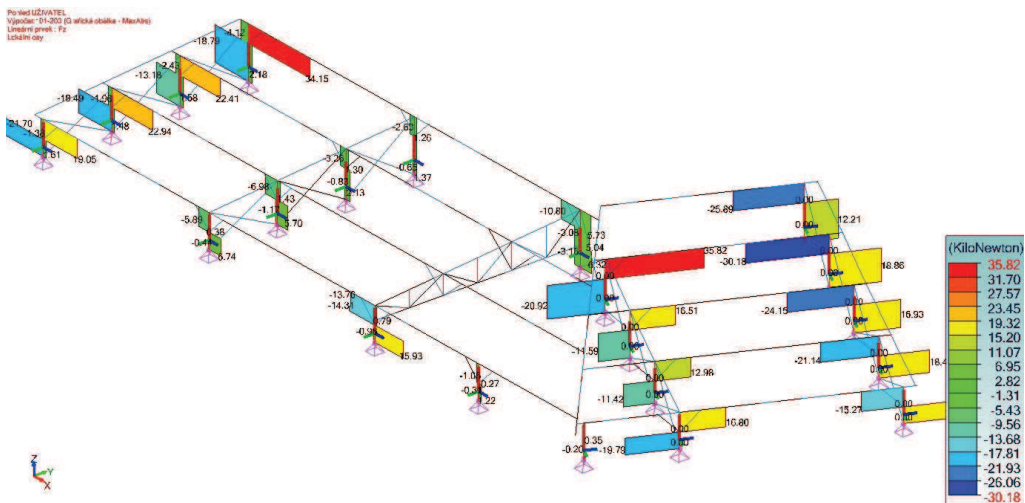
Vybrané systémy:
6 (Sloupy)



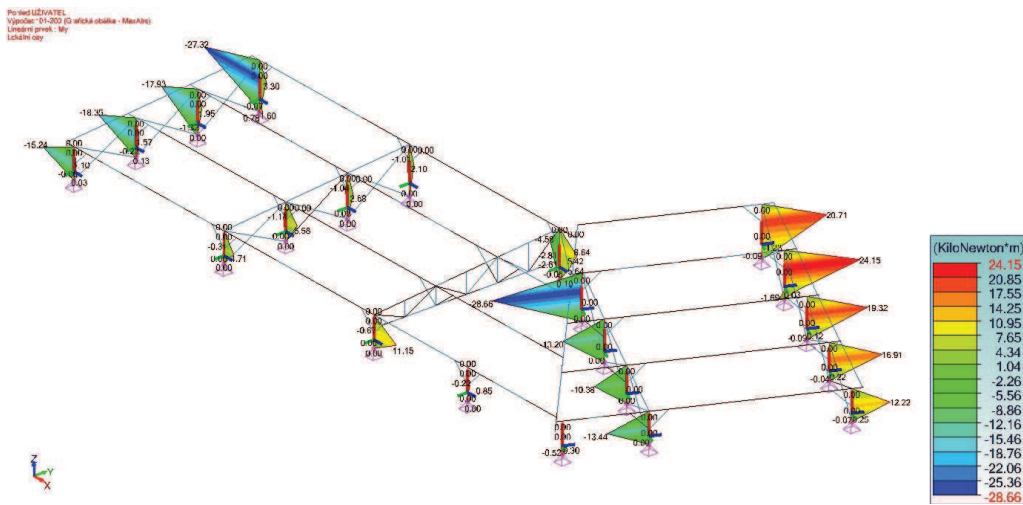
1 Sloupy - Síly Fx - 101-200



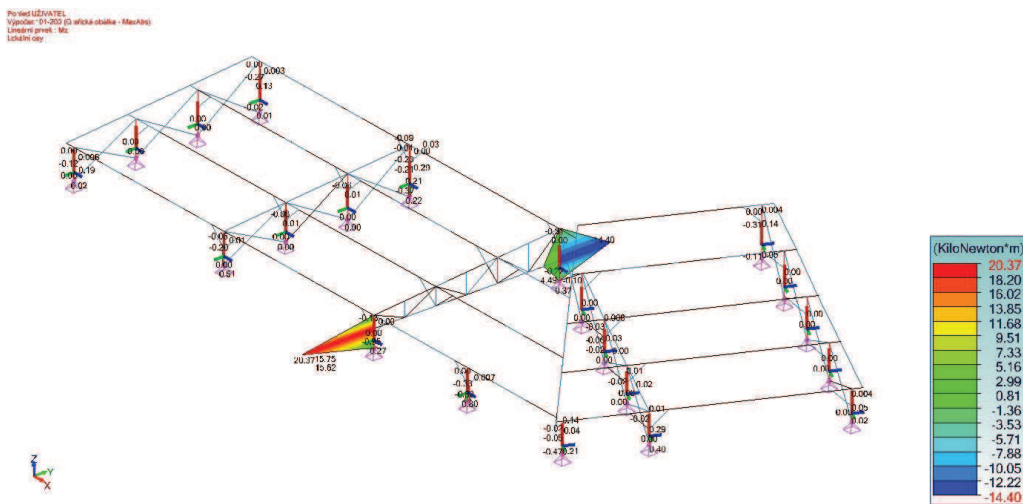
2 Sloupy - Síly Fy - 101-200



3 Sloupy - Síly Fz - 101-200



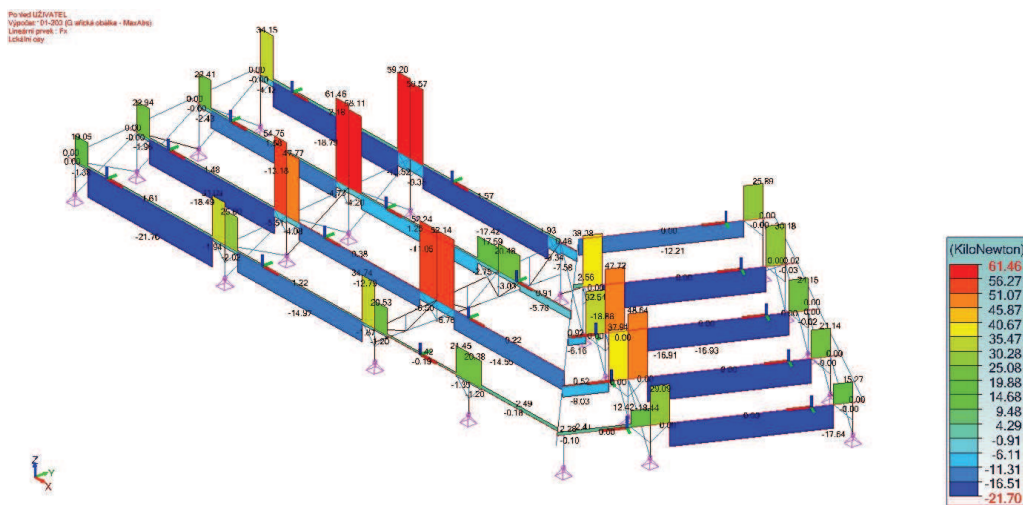
4 Sloupy - Síly M_y - 101-200



5 Sloupy - Síly M_z - 101-200

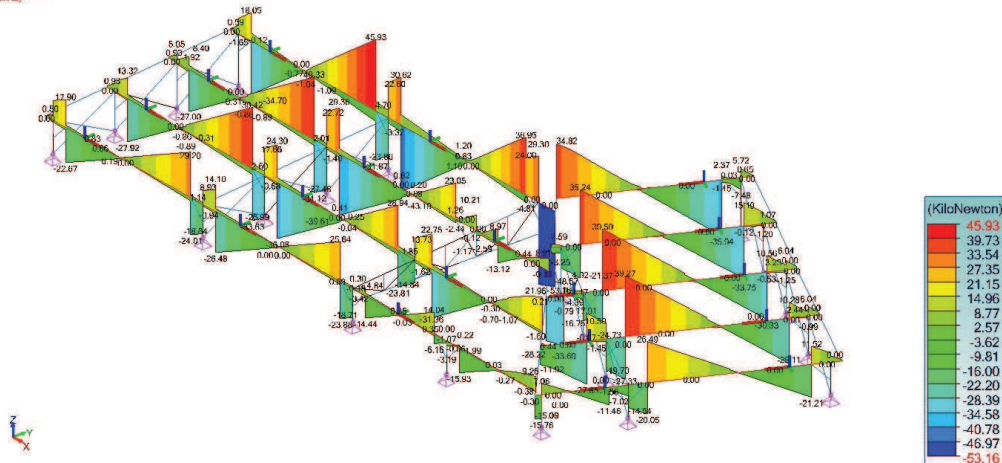
Obálky z obálek sil pro lineární prvky (lokální souřadnicový systém)									
Obál.	Zatěžovací stav	Uzel č.	Uzel Č.	Fx(kN)	Fy(kN)	Fz(kN)	Mx(kN*m)	My(kN*m)	Mz(kN*m)
Max(Fx)	128	34.11	331	61.46	-0.23	-34.12	0.00	58.98	-0.30
Min(Fx)	128	30.3	183	-21.70	0.06	-22.67	0.00	13.12	0.14
Max(Fy)	112	54.12	352	2.56	17.50	1.14	-0.07	0.00	4.33
Min(Fy)	128	57.11	386	-6.35	-12.25	-46.88	0.33	0.00	-6.85
Max(Fz)	128	36.10	388	-18.79	-0.23	45.93	0.00	57.89	-0.25
Min(Fz)	116	57.11	367	-7.14	-12.10	-53.16	0.33	54.94	6.16
Max(Mx)	112	57.11	367	-7.22	-11.14	-50.25	0.34	51.79	5.98
Min(Mx)	130	169.2	294	-4.35	0.04	-28.54	-0.09	19.24	0.27
Max(My)	128	34.10	331	-13.18	-0.23	40.33	0.00	58.98	-0.30
Min(My)	116	55.6	398	-12.18	-0.02	-1.23	0.04	-62.27	-0.38
Max(Mz)	132	57.11	367	-5.67	-12.14	-48.93	0.31	50.50	6.56
Min(Mz)	126	57.11	386	-6.98	-11.94	-46.65	0.33	0.00	-6.94

Vybrané systémy:
7 (Rámové příčle)



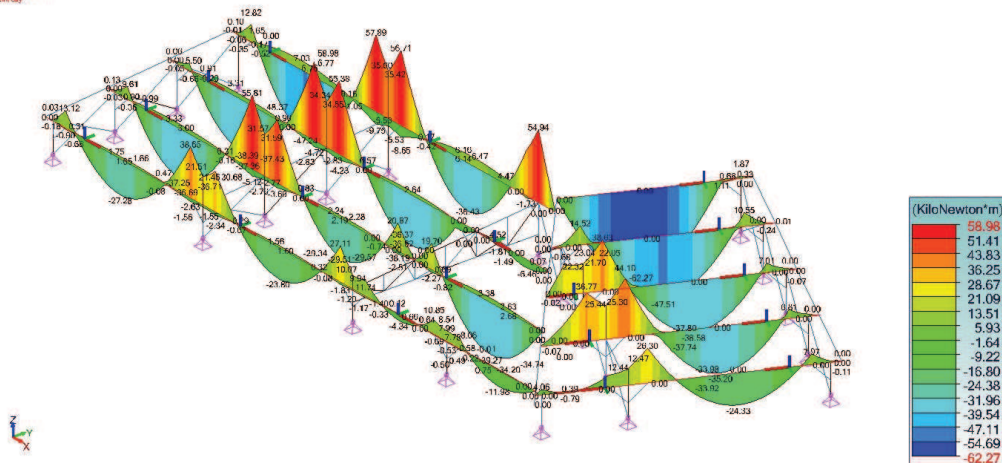
6 Příčle - Síly Fx - 101-200

Počet uzlů: 185
Výpočet: 01-200 (5) síla obálky - Max(kN)
Lineární prvky: Fz
Lokální ohy



7 Příčle - Síly Fz - 101-200

Počet uzlů: 185
Výpočet: 01-200 (5) síla obálky - Max(kN)
Lineární prvky: My
Lokální ohy



8 Příčle - Síly My - 101-200

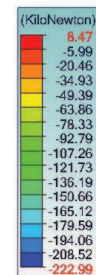
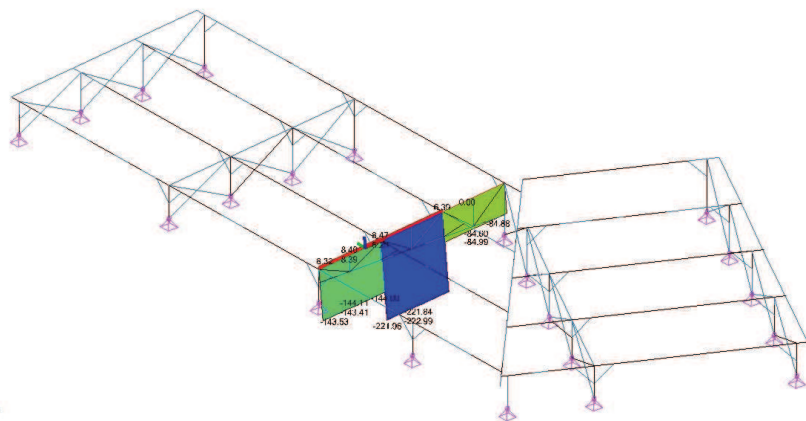
Obálky z obálek sil pro lineární prvky (lokální souřadnicový systém)

Obál.	Zatěžovací stav	Uzel č.	Uzel Č.	Fx(kN)	Fy(kN)	Fz(kN)	Mx(kN*m)	My(kN*m)	Mz(kN*m)
Max(Fx)	185	50.3	255	8.47	-0.11	1.31	0.00	1.38	0.02
Min(Fx)	128	50.6	280	-222.99	-0.55	-2.99	-0.02	-2.94	-0.83
Max(Fy)	126	50.8	326	-78.32	2.34	2.74	0.02	-6.17	-2.87
Min(Fy)	132	50.4	255	-194.63	-0.78	7.42	-0.02	-15.58	0.49
Max(Fz)	128	50.5	280	-221.84	-0.55	10.10	-0.02	-2.94	-0.77
Min(Fz)	128	50.3	209	-144.11	-0.45	-9.63	0.01	-3.71	0.21
Max(Mx)	114	50.8	326	-72.34	2.23	2.45	0.02	-5.65	-2.71
Min(Mx)	128	50.4	255	-221.96	-0.55	8.81	-0.02	-18.13	0.11
Max(My)	185	50.4	255	6.20	-0.37	-1.39	0.01	1.40	0.48
Min(My)	128	50.4	255	-221.96	-0.55	8.81	-0.02	-18.13	0.11
Max(Mz)	126	50.10	367	-78.46	2.34	1.10	0.01	0.00	4.67
Min(Mz)	128	50.8	326	-84.71	2.34	3.05	0.01	-6.72	-2.92

Projekt:

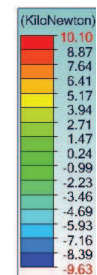
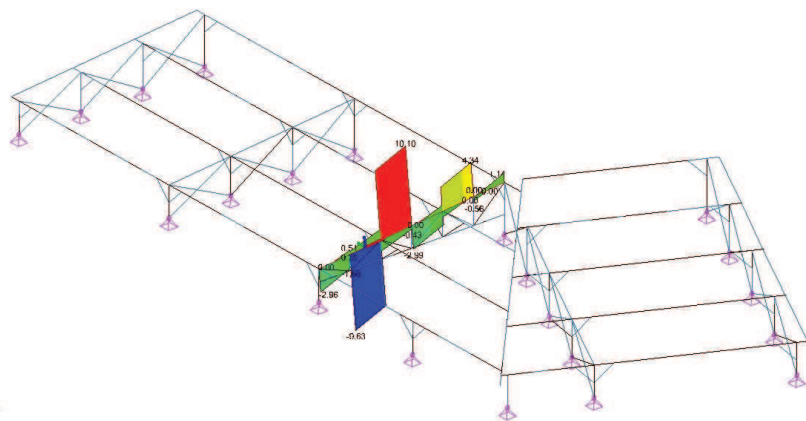
Vybrané systémy: 13 (Horní pás)

Pořadí uživatele:
Výpočet: 01-203 (3) síla obálka - Max/min
Lineární prvek: Fx
Lokální ohy



9 Horní pás - Síly Fx - 101-200

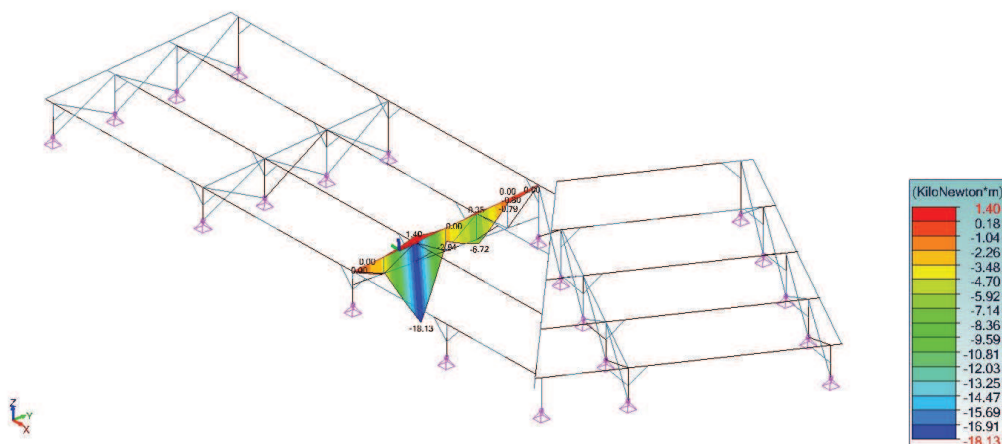
Pořadí uživatele:
Výpočet: 01-203 (3) síla obálka - Max/min
Lineární prvek: Fz
Lokální ohy



10 Horní pás - Síly Fz - 101-200

Projekt:

Počet uživatele:
Výpočet: 01-202 (2) síťová obálka - Mas(km)
Lokální prvek: My
Lokální ohyb

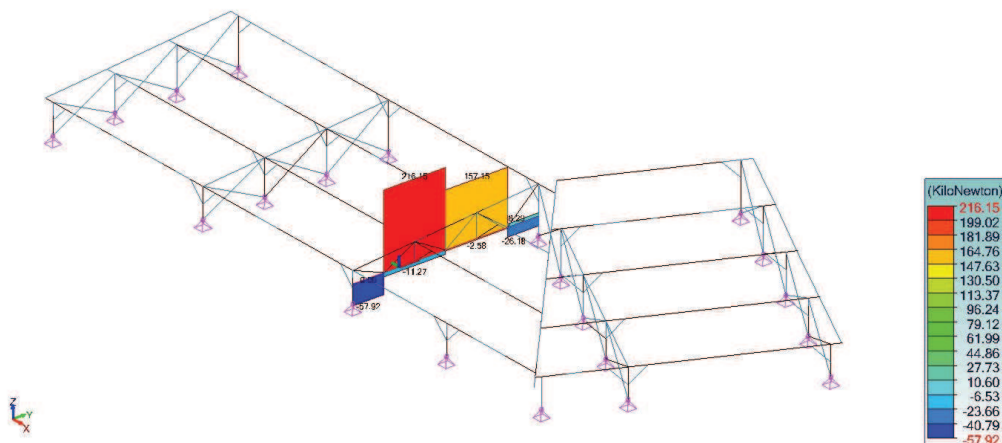


11 Horní pás - Síly My - 101-200

Obálky z obálek sil pro lineární prvky (lokální souřadnicový systém)									
Obál.	Zatěžovací stav	Uzel č.	Uzel Č.	Fx(kN)	Fy(kN)	Fz(kN)	Mx(kN*m)	My(kN*m)	Mz(kN*m)
Max(Fx)	128	138.3	112	216.15	0.56	-3.20	-0.01	0.23	0.36
Min(Fx)	136	138.1	110	-57.92	0.44	-0.14	0.00	0.00	-0.33
Max(Fy)	128	138.8	117	157.15	1.28	1.18	0.00	-2.08	-2.20
Min(Fy)	128	138.4	113	216.15	-1.11	3.12	-0.01	-4.47	1.30
Max(Fz)	128	138.5	115	216.15	-1.11	3.65	-0.01	0.94	-0.47
Min(Fz)	128	138.3	112	216.15	0.56	-3.20	-0.01	0.23	0.36
Max(Mx)	128	138.9	120	-26.18	1.28	-0.41	0.23	0.23	-0.27
Min(Mx)	185	138.9	120	8.29	-0.08	-0.19	-0.20	-0.01	-0.14
Max(My)	128	138.5	115	216.15	-1.11	3.65	-0.01	0.94	-0.47
Min(My)	128	138.4	113	216.15	-1.11	3.12	-0.01	-4.47	1.30
Max(Mz)	128	138.10	119	-26.18	1.28	0.12	0.23	0.00	1.78
Min(Mz)	128	138.8	117	157.15	1.28	1.18	0.00	-2.08	-2.20

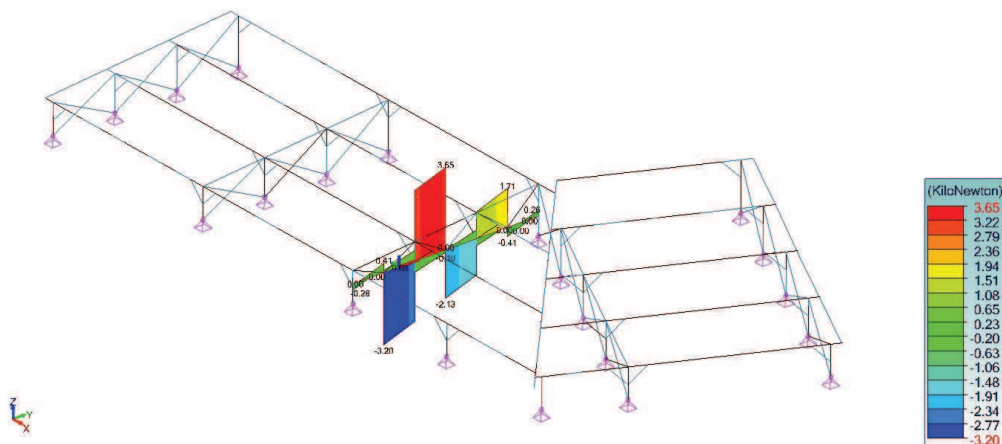
Vybrané systémy:
14 (Spodní pás)

Počet uživatele:
Výpočet: 01-203 (2) síťová obálka - Mas(km)
Lokální prvek: Fx
Lokální ohyb



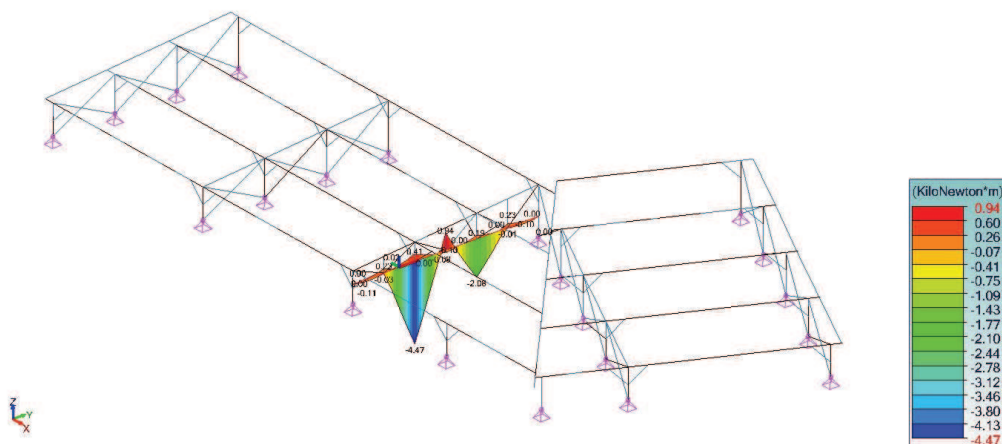
12 Spodní pás - Síly F_x - 101-200

Počet UŽIVATEL
Výpočet: 01-200 (2) úřadová - MasKln
Lineární prvek: Fz
Lokální ohy



13 Spodní pás - Síly F_z - 101-200

Počet UŽIVATEL
Výpočet: 01-200 (2) úřadová - MasKln
Lineární prvek: My
Lokální ohy

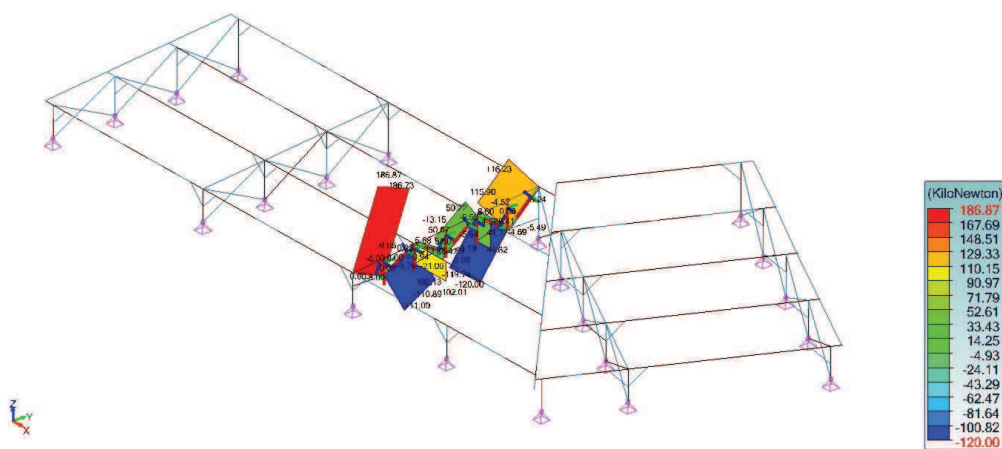


14 Spodní pás - Síly M_y - 101-200

Obálky z obálek sil pro lineární prvky (lokální souřadnicový systém)									
Obál.	Zatěžovací stav	Uzel č.	Uzel Č.	Fx(kN)	Fy(kN)	Fz(kN)	Mx(kN*m)	My(kN*m)	Mz(kN*m)
Max(Fx)	128	149.2	174	186.87	0.00	0.18	0.05	0.00	0.00
Min(Fx)	128	145.1	120	-120.00	0.00	-0.18	0.09	0.00	0.00
Max(Fy)	103	145.1	120	-104.01	0.00	-0.14	0.07	0.00	0.00
Min(Fy)	103	145.2	155	-103.92	0.00	0.00	0.07	-0.07	0.00
Max(Fz)	102	144.2	120	37.41	0.00	0.18	-0.05	0.00	0.00
Min(Fz)	102	144.1	367	37.74	0.00	-0.18	-0.05	0.00	0.00
Max(Mx)	192	148.1	255	-58.61	0.00	-0.18	0.10	0.00	0.00
Min(Mx)	128	144.1	367	116.23	0.00	-0.18	-0.22	0.00	0.00
Max(My)	101	139.1	326	8.62	0.00	0.00	0.00	0.00	0.00
Min(My)	102	144.1	208	37.57	0.00	0.00	-0.05	-0.10	0.00
Max(Mz)	103	145.1	155	-103.92	0.00	0.00	0.07	-0.07	0.00
Min(Mz)	101	139.1	326	8.62	0.00	0.00	0.00	0.00	0.00

Vybrané systémy:
15 (Diagonály)

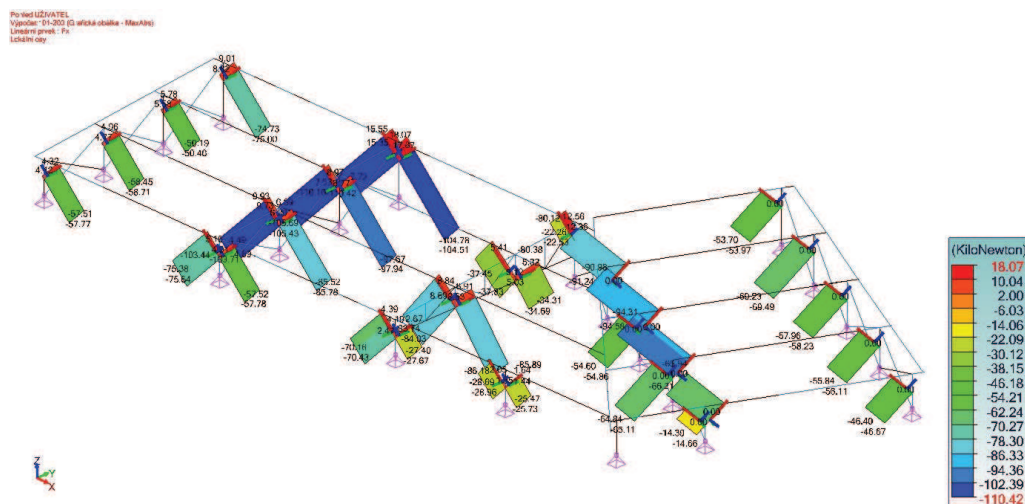
Prostředí: UZIVATEL
Výpočet: 01-2023 (2) úroveň obálky - Max(kN)
Ukazatel: Fx
Lokální ohy



15 Diagonály - Síly Fx - 101-200

Obálky z obálek sil pro lineární prvky (lokální souřadnicový systém)									
Obál.	Zatěžovací stav	Uzel č.	Uzel Č.	Fx(kN)	Fy(kN)	Fz(kN)	Mx(kN*m)	My(kN*m)	Mz(kN*m)
Max(Fx)	185	73.1	388	18.07	-0.07	0.10	0.06	0.00	0.00
Min(Fx)	128	73.1	193	-110.42	0.00	-0.13	-0.01	0.00	0.00
Max(Fy)	137	62.1	183	-0.68	0.71	0.10	0.00	0.00	0.00
Min(Fy)	193	75.1	206	-3.97	-0.52	-0.10	0.00	0.00	0.00
Max(Fz)	102	152.2	307	-8.03	0.00	0.23	-0.01	0.00	0.00
Min(Fz)	102	152.1	117	-8.41	0.00	-0.23	-0.01	0.00	0.00
Max(Mx)	136	90.1	107	-61.14	0.00	-0.13	0.09	0.00	0.00
Min(Mx)	114	82.1	126	-46.38	0.00	-0.13	-0.12	0.00	0.00
Max(My)	103	65.1	332	-44.11	0.00	0.10	0.00	0.00	0.00
Min(My)	102	152.1	152	-8.22	0.00	0.00	-0.01	-0.10	0.00
Max(Mz)	101	62.1	105	-12.00	0.00	-0.10	0.00	0.00	0.00
Min(Mz)	101	62.1	105	-12.00	0.00	-0.10	0.00	0.00	0.00

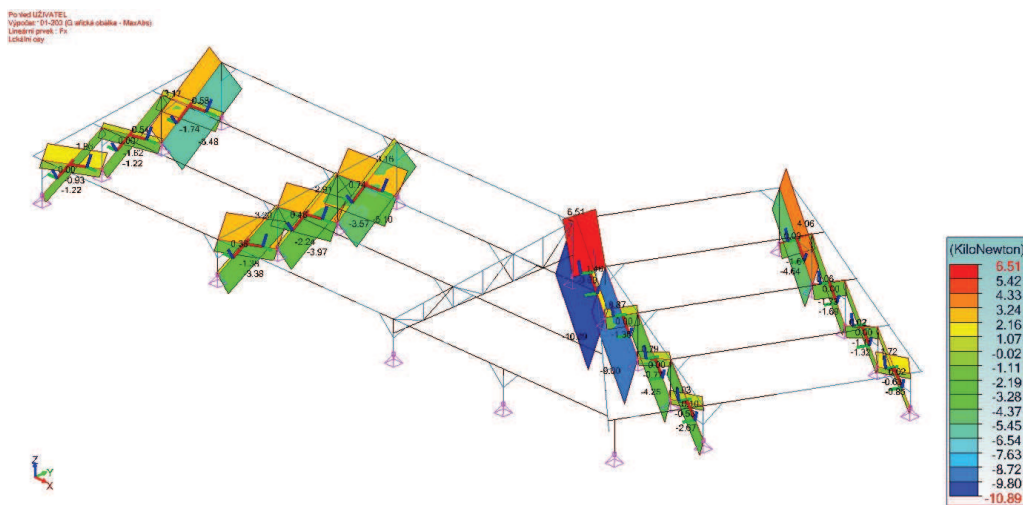
Vybrané systémy:
10 (Vzpěry)



19 Vzpěry - Síly Fx - 101-200

Obálky z obálek sil pro lineární prvky (lokální souřadnicový systém)									
Obál.	Zatěžovací stav	Uzel č.	Uzel Č.	F _x (kN)	F _y (kN)	F _z (kN)	M _x (kN*m)	M _y (kN*m)	M _z (kN*m)
Max(F _x)	112	118.1	57	6.51	0.00	0.00	0.00	0.00	0.00
Min(F _x)	128	116.1	53	-10.89	0.00	0.00	0.00	0.00	0.00
Max(F _y)	101	94.1	1	-0.27	0.00	0.00	0.00	0.00	0.00
Min(F _y)	101	94.1	1	-0.27	0.00	0.00	0.00	0.00	0.00
Max(F _z)	101	94.1	1	-0.27	0.00	0.00	0.00	0.00	0.00
Min(F _z)	101	94.1	1	-0.27	0.00	0.00	0.00	0.00	0.00
Max(M _x)	101	94.1	1	-0.27	0.00	0.00	0.00	0.00	0.00
Min(M _x)	101	94.1	1	-0.27	0.00	0.00	0.00	0.00	0.00
Max(M _y)	101	94.1	1	-0.27	0.00	0.00	0.00	0.00	0.00
Min(M _y)	101	94.1	1	-0.27	0.00	0.00	0.00	0.00	0.00
Max(M _z)	101	94.1	1	-0.27	0.00	0.00	0.00	0.00	0.00
Min(M _z)	101	94.1	1	-0.27	0.00	0.00	0.00	0.00	0.00

Vybrané systémy:
11 (Zavětrování)



20 Zavětrování - Síly F_x - 101-200

Obálky z obálek posunů pro lineární prvky (lokální souřadnicový systém)							
Obál.	Zatěžovací stav	Prvek č.	Uzel Č.	D _x (mm)	D _y (mm)	D _z (mm)	D(mm)
Max(D _x)	207	55.2	400	3.0	-0.6	-2.3	3.8
Min(D _x)	217	57.11	386	-0.4	-1.3	-0.7	1.5
Max(D _y)	225	55.5	1/4	0.6	1.8	-1.8	2.6
Min(D _y)	245	36.6	Střed	-0.2	-6.0	-0.6	6.0
Max(D _z)	208	55.1	395	3.0	0.2	1.3	3.3
Min(D _z)	208	55.6	398	3.0	-1.6	-8.5	9.2

Vybrané systémy:
7 (Rámové příčle)

Obálky z obálek posunů pro lineární prvky (lokální souřadnicový systém)							
Obál.	Zatěžovací stav	Prvek č.	Uzel Č.	Dx(mm)	Dy(mm)	Dz(mm)	D(mm)
Max(Dx)	241	50.1	174	0.1	-0.1	0.0	0.2
Min(Dx)	218	50.10	367	-0.9	0.4	-0.1	1.0
Max(Dy)	217	50.10	367	-0.9	0.4	-0.1	1.0
Min(Dy)	214	50.6	Střed	-0.5	-1.0	-4.7	4.8
Max(Dz)	243	50.1	174	-0.4	0.0	0.0	0.4
Min(Dz)	214	50.4	271	-0.4	-0.9	-5.1	5.2

Vybrané systémy:
13 (Horní pás)

Předpoklady posouzení ocelových prvků

Předpoklady posouzení ocelových prvků:

- Dimenzování provedeno podle EC3 ().
- Výpočet byl proveden podle kombinovaný ohyb.
- Optimalizace profilů byla provedena s cílem zajistit stupeň využití prvků menší než 100%.
- Maximální počet iterací pro každý krok optimalizace je 8.
- Výpočet byl proveden podle prvky.
- Třídění listů tvarů probíhá podle kritéria stupně využití.
- Vzpěrné délky byly stanoveny metodou η_1 - η_2 .

Maximální stupeň využití: Podle prvku						
Id	Název	Průřez	Lf (m)	Ld (m)	Stupeň využití (%)	Stav
1	Lineární	SHS180x8H	1.500	1.500	20.89	128
2	Lineární	SHS180x8H	1.780	1.780	25.27	128
3	Lineární	SHS180x8H	2.060	2.060	24.42	128
4	Lineární	SHS180x8H	2.340	2.340	35.79	128
5	Lineární	SHS180x8H	2.340	2.340	13.68	128
6	Lineární	SHS180x8H	2.060	2.060	11.83	128
7	Lineární	SHS180x8H	1.780	1.780	14.61	128
8	Lineární	SHS180x8H	1.500	1.500	11.73	128
9	Lineární	SHS180x8H	1.500	1.500	43.32	128
17	Lineární	SHS180x8H	2.400	2.400	30.30	116
18	Lineární	SHS180x8H	2.170	2.170	33.55	116
19	Lineární	SHS180x8H	1.940	1.940	27.10	116
20	Lineární	SHS180x8H	1.709	1.709	23.87	132
21	Lineární	SHS180x8H	1.479	1.479	17.38	108
23	Lineární	SHS180x8H	1.500	1.500	5.27	128
45	Lineární	SHS180x8H	1.709	1.709	19.79	132
46	Lineární	SHS180x8H	2.340	2.340	38.22	128
47	Lineární	SHS180x8H	1.940	1.940	23.68	116
48	Lineární	SHS180x8H	2.170	2.170	38.97	116
49	Lineární	SHS180x8H	1.479	1.479	21.43	132
89	Lineární	SHS180x8H	1.479	1.479	2.62	128
30	Lineární	IPE360	5.050	5.050	36.39	128
31	Lineární	IPE360	4.800	4.800	28.37	128
32	Lineární	IPE360	5.050	5.050	52.85	128
34	Lineární	IPE360	5.050	5.050	56.62	128

Maximální stupeň využití: Podle prvku

Id	Název	Průřez	Lf (m)	Ld (m)	Stupeň využití (%)	Stav
36	Lineární	IPE360	5.050	5.050	55.71	128
44	Lineární	IPE360	5.849	5.849	6.52	128
51	Lineární	IPE360	4.450	4.450	13.53	132
52	Lineární	IPE360	4.450	4.450	38.03	108
53	Lineární	IPE360	4.450	4.450	33.61	108
54	Lineární	IPE360	4.649	4.649	39.75	108
55	Lineární	IPE360	4.071	4.071	45.52	116
57	Lineární	IPE360	5.340	5.340	63.28	104
58	Lineární	IPE360	4.800	4.800	50.45	128
59	Lineární	IPE360	4.800	4.800	43.53	128
87	Lineární	IPE360	2.309	2.309	3.34	128
88	Lineární	IPE360	4.079	4.079	28.82	128
167	Lineární	IPE360	1.931	1.931	6.91	114
168	Lineární	IPE360	1.353	1.353	18.14	128
169	Lineární	IPE360	0.776	0.776	11.79	128
50	Lineární	HEB200	1.927	9.637	25.63	128
138	Lineární	SHS140x6H	1.920	9.600	44.37	128
139	Lineární	SHS60x6H	1.160	1.160	15.17	128
140	Lineární	SHS60x6H	0.880	0.880	34.53	128
141	Lineární	SHS60x6H	1.020	1.020	4.85	128
142	Lineární	SHS60x6H	0.740	0.740	2.83	128
143	Lineární	SHS60x6H	1.300	1.300	1.81	128
144	Lineární	SHS100x6H	2.153	2.153	22.75	128
145	Lineární	SHS100x6H	1.976	1.976	25.78	128
146	Lineární	SHS60x6H	1.976	1.976	17.68	128
147	Lineární	SHS60x6H	1.826	1.826	10.23	128
148	Lineární	SHS100x6H	1.826	1.826	23.73	128
149	Lineární	SHS100x6H	1.709	1.709	36.45	128
56	Lineární	IPE360	16.560	0.000	0.00	101
62	Lineární	RHS140x80x8H	1.131	1.131	8.28	128
64	Lineární	RHS140x80x8H	1.131	1.131	8.13	128
65	Lineární	RHS140x80x8H	1.131	1.131	6.91	128
66	Lineární	RHS140x80x8H	1.131	1.131	10.04	104
67	Lineární	RHS140x80x8H	1.131	1.131	11.97	128
68	Lineární	RHS140x80x8H	1.131	1.131	14.31	128
69	Lineární	RHS140x80x8H	1.131	1.131	13.64	128
70	Lineární	RHS140x80x8H	1.131	1.131	8.30	128
71	Lineární	RHS140x80x8H	1.131	1.131	14.98	128
72	Lineární	RHS140x80x8H	1.131	1.131	14.64	128
73	Lineární	RHS140x80x8H	1.131	1.131	15.80	128
74	Lineární	RHS140x80x8H	1.131	1.131	11.00	128
75	Lineární	RHS140x80x8H	1.131	1.131	7.86	116
76	Lineární	RHS140x80x8H	1.131	1.131	9.80	116
77	Lineární	RHS140x80x8H	1.131	1.131	8.14	116
78	Lineární	RHS140x80x8H	1.131	1.131	7.78	132
79	Lineární	RHS140x80x8H	1.131	1.131	6.58	108
80	Lineární	RHS140x80x8H	1.131	1.131	9.12	128
81	Lineární	RHS140x80x8H	1.131	1.131	2.27	122

Projekt:

Maximální stupeň využití: Podle prvku

Id	Název	Průřez	Lf (m)	Ld (m)	Stupeň využití (%)	Stav
82	Lineární	RHS140x80x8H	1.131	1.131	7.74	128
83	Lineární	RHS140x80x8H	1.131	1.131	9.47	132
84	Lineární	RHS140x80x8H	1.131	1.131	13.30	132
85	Lineární	RHS140x80x8H	1.131	1.131	12.80	116
86	Lineární	RHS140x80x8H	1.131	1.131	11.27	108
90	Lineární	RHS140x80x8H	1.131	1.131	10.27	128
91	Lineární	RHS140x80x8H	1.131	1.131	4.04	128
92	Lineární	RHS140x80x8H	1.131	1.131	4.55	128
93	Lineární	RHS140x80x8H	1.131	1.131	3.81	128
150	Lineární	RHS140x80x8H	1.393	1.393	12.47	128
151	Lineární	RHS140x80x8H	1.393	1.393	12.17	128
152	Lineární	RHS140x80x8H	1.787	1.787	5.50	128
153	Lineární	RHS140x80x8H	1.787	1.787	5.96	128
154	Lineární	RHS140x80x8H	1.131	1.131	3.79	128
94	Lineární	L80x80x8	1.831	3.662	0.58	122
95	Lineární	L80x80x8	1.767	3.534	0.68	137
96	Lineární	L80x80x8	1.903	3.806	0.80	122
97	Lineární	L80x80x8	1.831	3.662	0.54	127
98	Lineární	L80x80x8	1.982	3.964	2.79	192
99	Lineární	L80x80x8	1.903	3.806	0.79	127
100	Lineární	L80x80x8	1.982	3.964	2.59	200
101	Lineární	L80x80x8	1.903	3.806	1.66	126
102	Lineární	L80x80x8	1.903	3.806	1.96	200
103	Lineární	L80x80x8	1.831	3.662	1.22	132
104	Lineární	L80x80x8	1.831	3.662	1.62	200
105	Lineární	L80x80x8	1.767	3.534	1.46	132
106	Lineární	L80x80x8	2.061	4.121	0.45	118
107	Lineární	L80x80x8	2.016	4.031	0.59	193
108	Lineární	L80x80x8	2.111	4.222	0.60	118
109	Lineární	L80x80x8	2.061	4.121	0.69	108
110	Lineární	L80x80x8	2.166	4.332	0.95	112
111	Lineární	L80x80x8	2.111	4.222	0.91	108
112	Lineární	L80x80x8	2.226	4.452	2.62	152
113	Lineární	L80x80x8	2.166	4.332	0.87	114
114	Lineární	L80x80x8	2.111	4.222	1.33	128
115	Lineární	L80x80x8	2.061	4.121	1.40	112
116	Lineární	L80x80x8	2.210	4.420	5.96	104
117	Lineární	L80x80x8	2.111	4.222	2.28	112
118	Lineární	L80x80x8	2.166	4.332	4.30	128
119	Lineární	L80x80x8	2.166	4.332	4.96	108
120	Lineární	L80x80x8	2.016	4.031	1.13	128
121	Lineární	L80x80x8	2.061	4.121	1.16	128

Maximální průhyb: Podle prvku

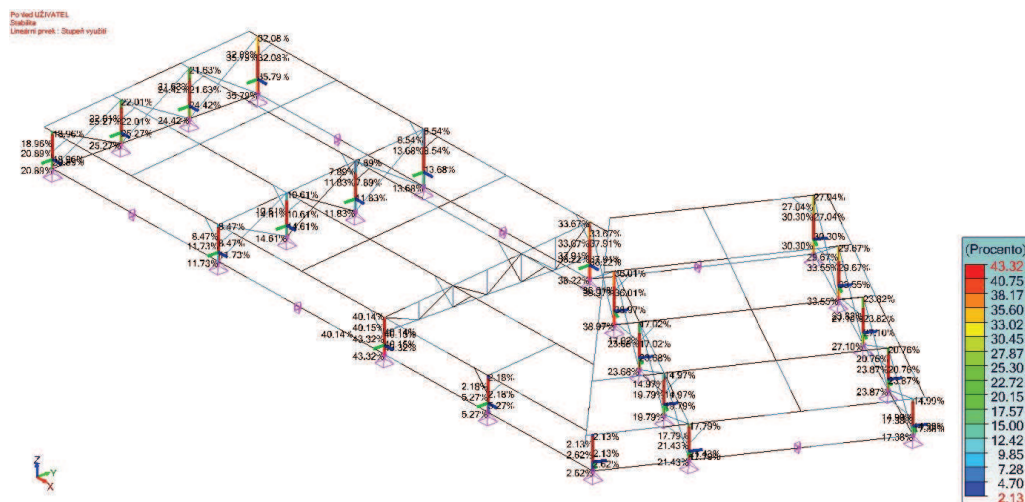
Id	Název	Průřez	Lf (m)	Ld (m)	Průhyb (%)	Stav
1	Lineární	SHS180x8H	1.500	1.500	-1.#J (L / -1)	251
2	Lineární	SHS180x8H	1.780	1.780	-1.#J (L / -1)	251

Maximální průhyb: Podle prvku						
Id	Název	Průřez	Lf (m)	Ld (m)	Průhyb (%)	Stav
3	Lineární	SHS180x8H	2.060	2.060	-1.#J (L / -1)	251
4	Lineární	SHS180x8H	2.340	2.340	-1.#J (L / -1)	251
5	Lineární	SHS180x8H	2.340	2.340	-1.#J (L / -1)	251
6	Lineární	SHS180x8H	2.060	2.060	-1.#J (L / -1)	251
7	Lineární	SHS180x8H	1.780	1.780	-1.#J (L / -1)	251
8	Lineární	SHS180x8H	1.500	1.500	-1.#J (L / -1)	251
9	Lineární	SHS180x8H	1.500	1.500	-1.#J (L / -1)	251
17	Lineární	SHS180x8H	2.400	2.400	-1.#J (L / -1)	251
18	Lineární	SHS180x8H	2.170	2.170	-1.#J (L / -1)	251
19	Lineární	SHS180x8H	1.940	1.940	-1.#J (L / -1)	251
20	Lineární	SHS180x8H	1.709	1.709	-1.#J (L / -1)	251
21	Lineární	SHS180x8H	1.479	1.479	-1.#J (L / -1)	251
23	Lineární	SHS180x8H	1.500	1.500	-1.#J (L / -1)	251
45	Lineární	SHS180x8H	1.709	1.709	-1.#J (L / -1)	251
46	Lineární	SHS180x8H	2.340	2.340	-1.#J (L / -1)	251
47	Lineární	SHS180x8H	1.940	1.940	-1.#J (L / -1)	251
48	Lineární	SHS180x8H	2.170	2.170	-1.#J (L / -1)	251
49	Lineární	SHS180x8H	1.479	1.479	-1.#J (L / -1)	251
89	Lineární	SHS180x8H	1.479	1.479	-1.#J (L / -1)	251
30	Lineární	IPE360	5.050	5.050	12.99 (L / 1540)	246
31	Lineární	IPE360	4.800	4.800	5.63 (L / 3550)	214
32	Lineární	IPE360	5.050	5.050	12.90 (L / 1550)	245
34	Lineární	IPE360	5.050	5.050	12.92 (L / 1548)	245
36	Lineární	IPE360	5.050	5.050	13.62 (L / 1469)	214
44	Lineární	IPE360	5.849	5.849	1.85 (L / 10000)	248
51	Lineární	IPE360	4.450	4.450	6.13 (L / 3264)	204
52	Lineární	IPE360	4.450	4.450	8.71 (L / 2296)	216
53	Lineární	IPE360	4.450	4.450	10.13 (L / 1975)	208
54	Lineární	IPE360	4.649	4.649	14.26 (L / 1402)	208
55	Lineární	IPE360	4.071	4.071	19.26 (L / 1038)	208
57	Lineární	IPE360	5.340	5.340	7.41 (L / 2699)	214
58	Lineární	IPE360	4.800	4.800	10.46 (L / 1911)	214
59	Lineární	IPE360	4.800	4.800	10.21 (L / 1958)	214
87	Lineární	IPE360	2.309	2.309	15.47 (L / 1293)	214
88	Lineární	IPE360	4.079	4.079	11.17 (L / 1790)	214
167	Lineární	IPE360	1.931	1.931	3.07 (L / 6507)	214
168	Lineární	IPE360	1.353	1.353	15.51 (L / 1289)	214
169	Lineární	IPE360	0.776	0.776	6.83 (L / 2930)	208
50	Lineární	HEB200	1.927	9.637	12.95 (L / 1931)	214
138	Lineární	SHS140x6H	1.920	9.600	13.55 (L / 1845)	214
139	Lineární	SHS60x6H	1.160	1.160	-1.#J (L / -1)	251
140	Lineární	SHS60x6H	0.880	0.880	-1.#J (L / -1)	251
141	Lineární	SHS60x6H	1.020	1.020	-1.#J (L / -1)	251
142	Lineární	SHS60x6H	0.740	0.740	-1.#J (L / -1)	251
143	Lineární	SHS60x6H	1.300	1.300	-1.#J (L / -1)	251
144	Lineární	SHS100x6H	2.153	2.153	-1.#J (L / -1)	251
145	Lineární	SHS100x6H	1.976	1.976	-1.#J (L / -1)	251
146	Lineární	SHS60x6H	1.976	1.976	-1.#J (L / -1)	251

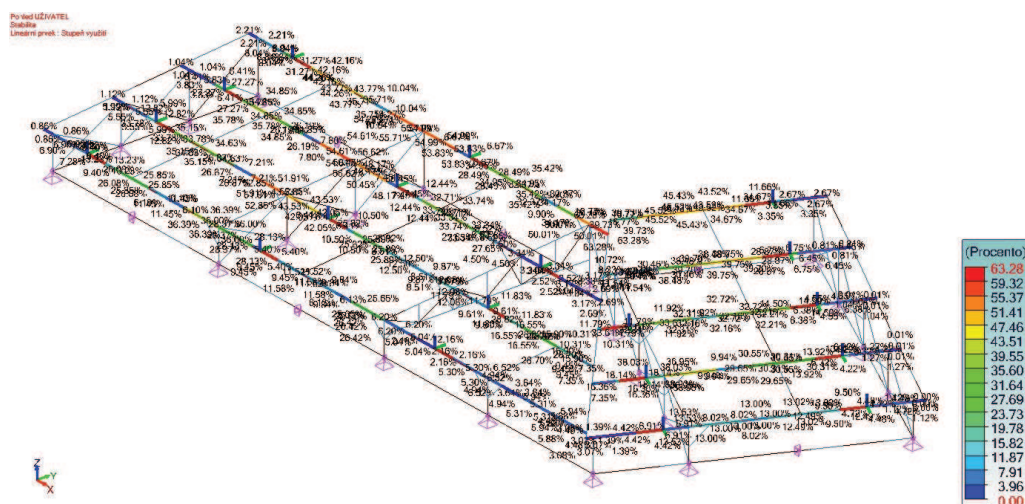
Projekt:

Maximální průhyb: Podle prvku						
Id	Název	Průřez	Lf (m)	Ld (m)	Průhyb (%)	Stav
147	Lineární	SHS60x6H	1.826	1.826	-1.#J (L / -1)	251
148	Lineární	SHS100x6H	1.826	1.826	-1.#J (L / -1)	251
149	Lineární	SHS100x6H	1.709	1.709	-1.#J (L / -1)	251
56	Lineární	IPE360	16.560	0.000	-1.#J (L / -1)	251
62	Lineární	RHS140x80x8H	1.131	1.131	-1.#J (L / -1)	251
64	Lineární	RHS140x80x8H	1.131	1.131	-1.#J (L / -1)	251
65	Lineární	RHS140x80x8H	1.131	1.131	-1.#J (L / -1)	251
66	Lineární	RHS140x80x8H	1.131	1.131	-1.#J (L / -1)	251
67	Lineární	RHS140x80x8H	1.131	1.131	-1.#J (L / -1)	251
68	Lineární	RHS140x80x8H	1.131	1.131	-1.#J (L / -1)	251
69	Lineární	RHS140x80x8H	1.131	1.131	-1.#J (L / -1)	251
70	Lineární	RHS140x80x8H	1.131	1.131	-1.#J (L / -1)	251
71	Lineární	RHS140x80x8H	1.131	1.131	-1.#J (L / -1)	251
72	Lineární	RHS140x80x8H	1.131	1.131	-1.#J (L / -1)	251
73	Lineární	RHS140x80x8H	1.131	1.131	-1.#J (L / -1)	251
74	Lineární	RHS140x80x8H	1.131	1.131	-1.#J (L / -1)	251
75	Lineární	RHS140x80x8H	1.131	1.131	-1.#J (L / -1)	251
76	Lineární	RHS140x80x8H	1.131	1.131	-1.#J (L / -1)	251
77	Lineární	RHS140x80x8H	1.131	1.131	-1.#J (L / -1)	251
78	Lineární	RHS140x80x8H	1.131	1.131	-1.#J (L / -1)	251
79	Lineární	RHS140x80x8H	1.131	1.131	-1.#J (L / -1)	251
80	Lineární	RHS140x80x8H	1.131	1.131	-1.#J (L / -1)	251
81	Lineární	RHS140x80x8H	1.131	1.131	-1.#J (L / -1)	251
82	Lineární	RHS140x80x8H	1.131	1.131	-1.#J (L / -1)	251
83	Lineární	RHS140x80x8H	1.131	1.131	-1.#J (L / -1)	251
84	Lineární	RHS140x80x8H	1.131	1.131	-1.#J (L / -1)	251
85	Lineární	RHS140x80x8H	1.131	1.131	-1.#J (L / -1)	251
86	Lineární	RHS140x80x8H	1.131	1.131	-1.#J (L / -1)	251
90	Lineární	RHS140x80x8H	1.131	1.131	-1.#J (L / -1)	251
91	Lineární	RHS140x80x8H	1.131	1.131	-1.#J (L / -1)	251
92	Lineární	RHS140x80x8H	1.131	1.131	-1.#J (L / -1)	251
93	Lineární	RHS140x80x8H	1.131	1.131	-1.#J (L / -1)	251
150	Lineární	RHS140x80x8H	1.393	1.393	-1.#J (L / -1)	251
151	Lineární	RHS140x80x8H	1.393	1.393	-1.#J (L / -1)	251
152	Lineární	RHS140x80x8H	1.787	1.787	-1.#J (L / -1)	251
153	Lineární	RHS140x80x8H	1.787	1.787	-1.#J (L / -1)	251
154	Lineární	RHS140x80x8H	1.131	1.131	-1.#J (L / -1)	251
94	Lineární	L80x80x8	1.831	3.662	-1.#J (L / -1)	251
95	Lineární	L80x80x8	1.767	3.534	-1.#J (L / -1)	251
96	Lineární	L80x80x8	1.903	3.806	-1.#J (L / -1)	251
97	Lineární	L80x80x8	1.831	3.662	-1.#J (L / -1)	251
98	Lineární	L80x80x8	1.982	3.964	-1.#J (L / -1)	251
99	Lineární	L80x80x8	1.903	3.806	-1.#J (L / -1)	251
100	Lineární	L80x80x8	1.982	3.964	-1.#J (L / -1)	251
101	Lineární	L80x80x8	1.903	3.806	-1.#J (L / -1)	251
102	Lineární	L80x80x8	1.903	3.806	-1.#J (L / -1)	251
103	Lineární	L80x80x8	1.831	3.662	-1.#J (L / -1)	251
104	Lineární	L80x80x8	1.831	3.662	-1.#J (L / -1)	251

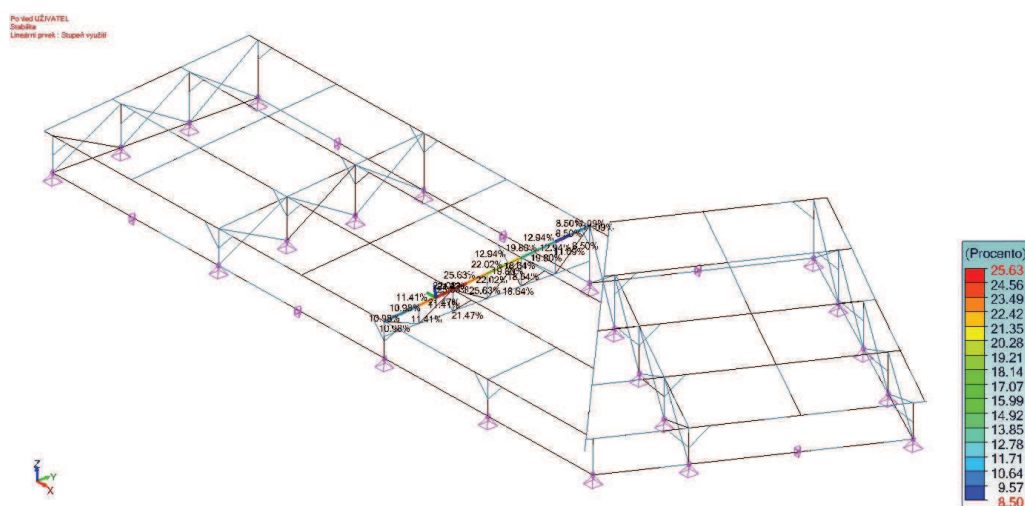
Maximální průhyb: Podle prvku						
Id	Název	Průřez	Lf (m)	Ld (m)	Průhyb (%)	Stav
105	Lineární	L80x80x8	1.767	3.534	-1.#J (L / -1)	251
106	Lineární	L80x80x8	2.061	4.121	-1.#J (L / -1)	251
107	Lineární	L80x80x8	2.016	4.031	-1.#J (L / -1)	251
108	Lineární	L80x80x8	2.111	4.222	-1.#J (L / -1)	251
109	Lineární	L80x80x8	2.061	4.121	-1.#J (L / -1)	251
110	Lineární	L80x80x8	2.166	4.332	-1.#J (L / -1)	251
111	Lineární	L80x80x8	2.111	4.222	-1.#J (L / -1)	251
112	Lineární	L80x80x8	2.226	4.452	-1.#J (L / -1)	251
113	Lineární	L80x80x8	2.166	4.332	-1.#J (L / -1)	251
114	Lineární	L80x80x8	2.111	4.222	-1.#J (L / -1)	251
115	Lineární	L80x80x8	2.061	4.121	-1.#J (L / -1)	251
116	Lineární	L80x80x8	2.210	4.420	-1.#J (L / -1)	251
117	Lineární	L80x80x8	2.111	4.222	-1.#J (L / -1)	251
118	Lineární	L80x80x8	2.166	4.332	-1.#J (L / -1)	251
119	Lineární	L80x80x8	2.166	4.332	-1.#J (L / -1)	251
120	Lineární	L80x80x8	2.016	4.031	-1.#J (L / -1)	251
121	Lineární	L80x80x8	2.061	4.121	-1.#J (L / -1)	251



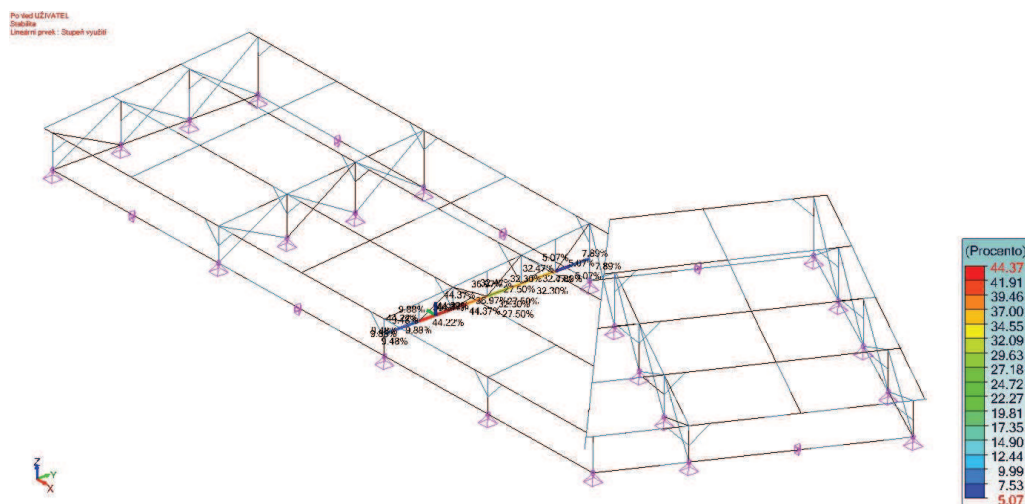
21 Sloupy - Stabilita Stupeň využití



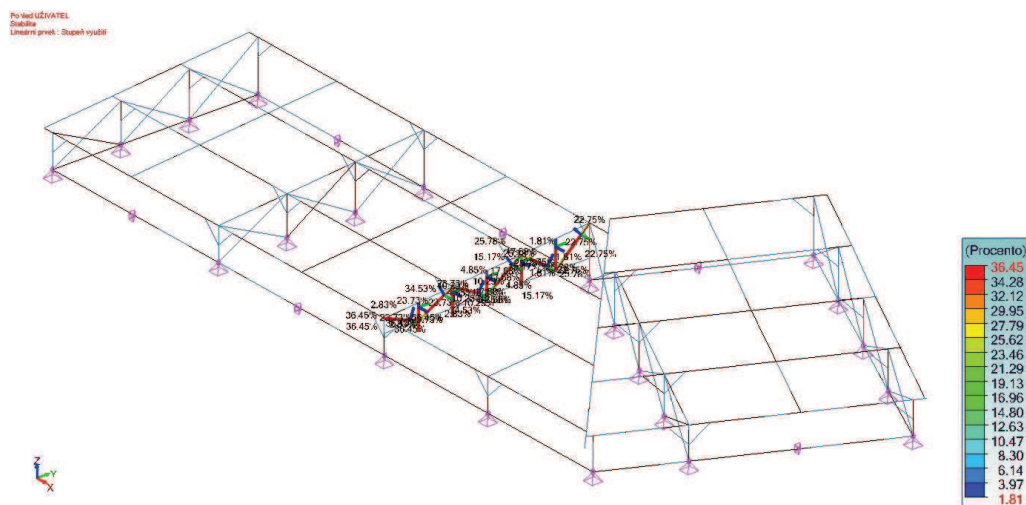
22 Příčle - Stabilita Stupeň využití



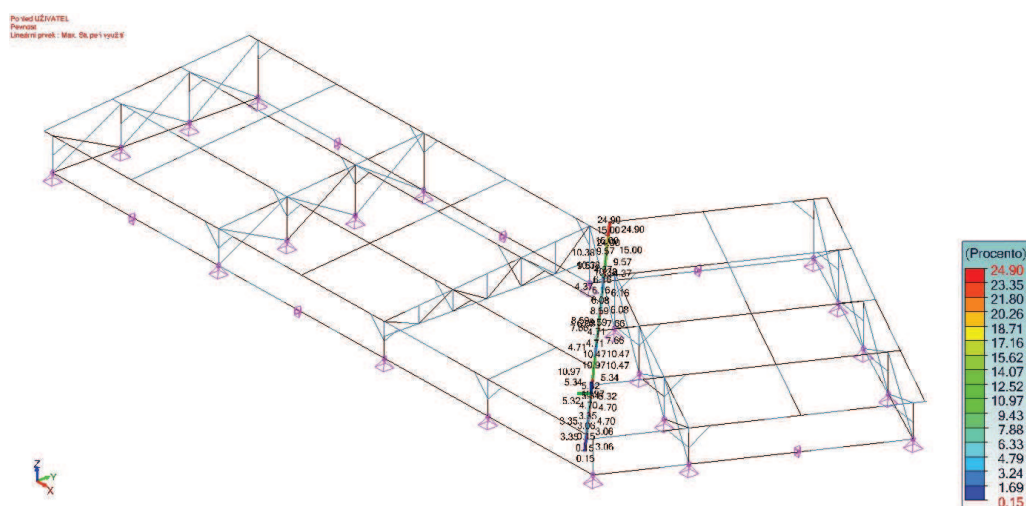
23 Průvlak - horní pás - Stabilita Stupeň využití



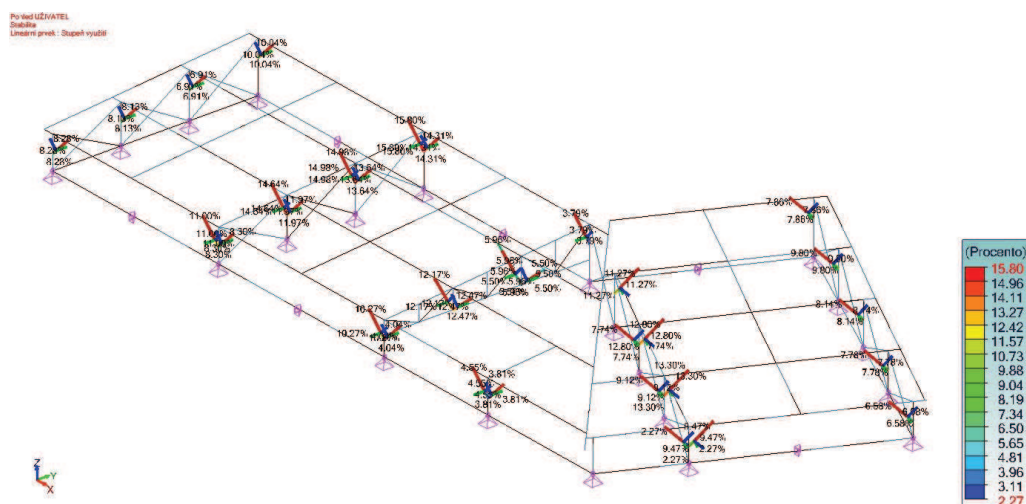
24 Průvlak - dolní pás - Stabilita Stupeň využití



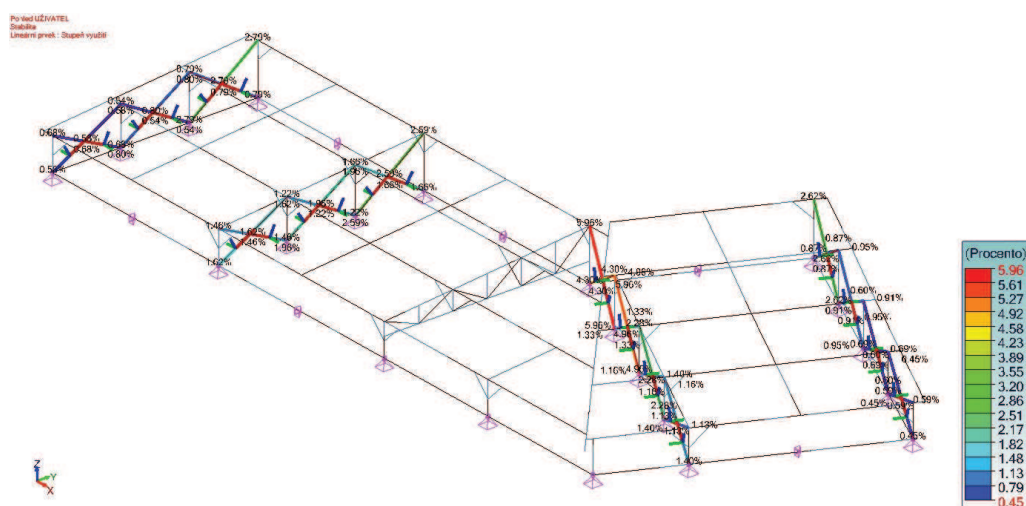
25 Průvlak - diagonály - Stabilita Stupeň využití



26 Nárožní nosník - Pevnost Max. Stupeň využití



27 Vzpěry - Stabilita Stupeň využití



28 Zavětrování - Stabilita Stupeň využití